

PLACE

PLATFORM OF LABORATORIES FOR ADVANCES IN CARDIAC EXPERIENCE



9^a Edizione

ROMA

**30 Settembre
1 Ottobre
2022**

Centro Congressi di Confindustria
Auditorium della Tecnica



Anomalie di ripolarizzazione nel soggetto giovane: diagnosi differenziali e corretti percorsi diagnostici

G. Bagiani

Scuola di Specializzazione in Malattie Apparato Cardiovascolare
Università Politecnica delle Marche



Clinica di Cardiologia e Aritmologia

Ospedali Riuniti Ancona –

Direttore: Prof. Antonio Dello Russo





Normal Ventricular Repolarization and QT Interval Ionic Background, Modifiers, and Measurements



Emanuela T. Locati, MD, PhD^{a,*}, Giuseppe Bagliani, MD^{b,c},
Luigi Padeletti, MD^{d,e}

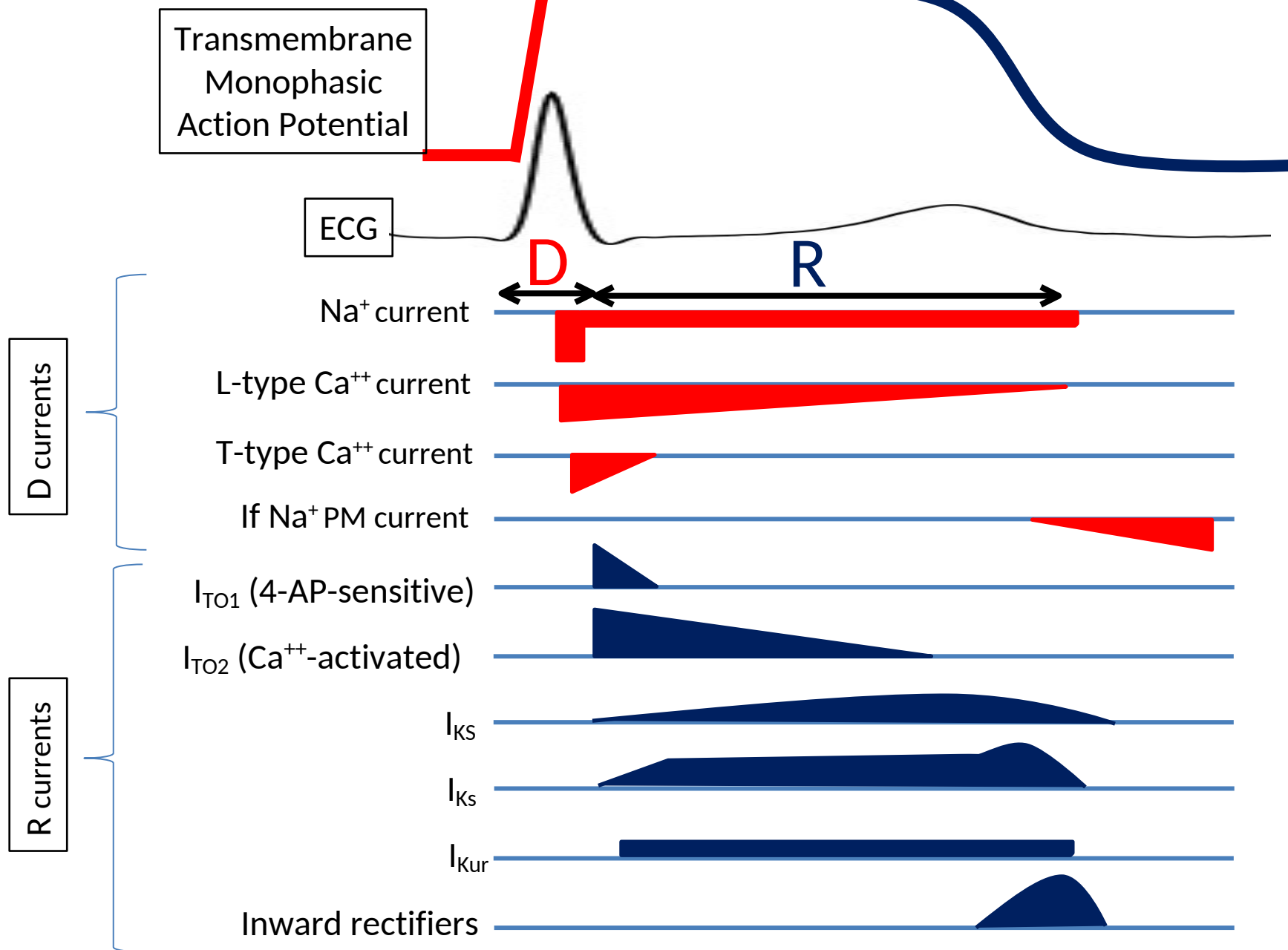
KEYWORDS

- Ventricular repolarization • QT interval • J point • ST segment • T wave • U wave • Electric memory
- T wave alternans

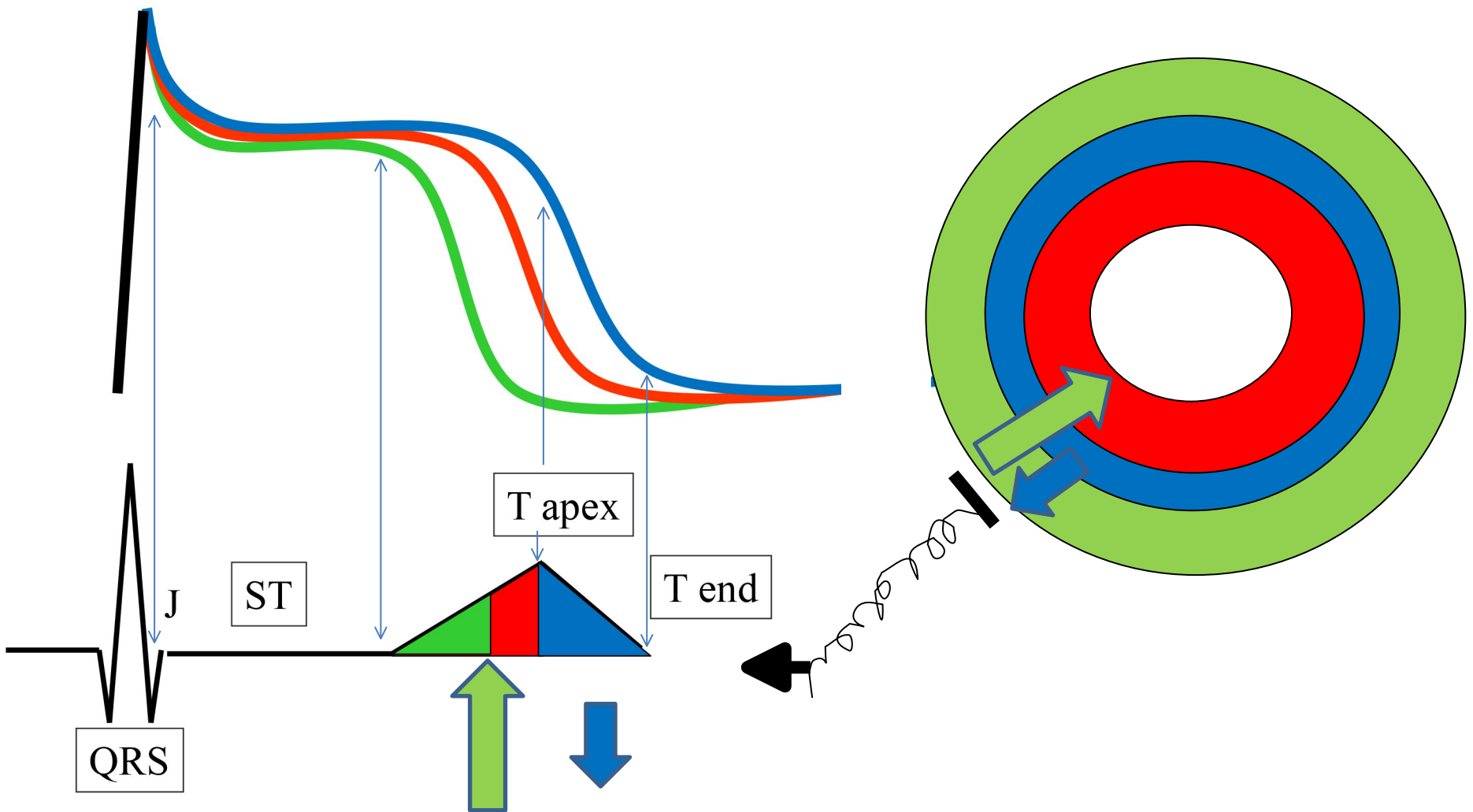
KEY POINTS

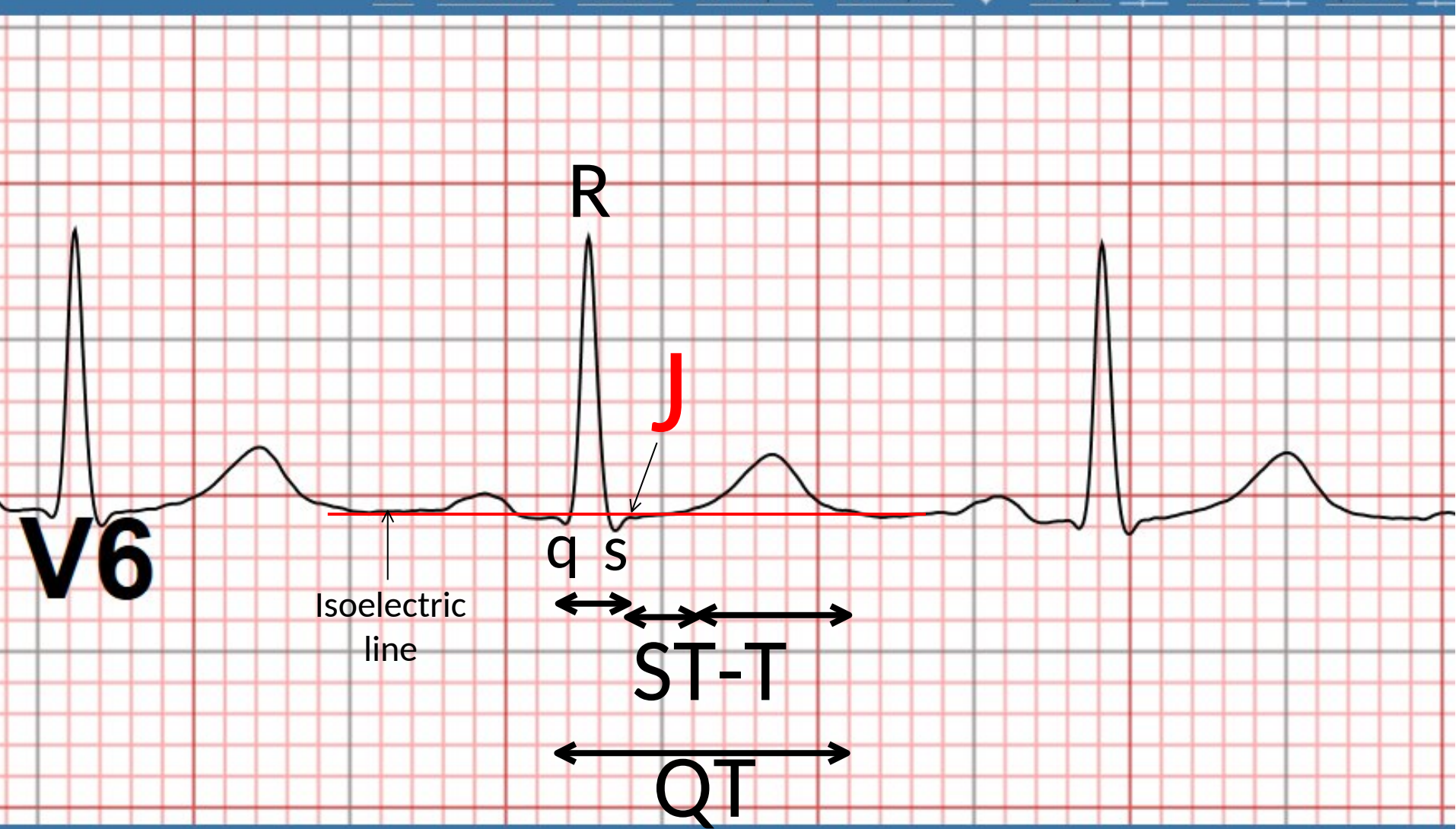
- Ventricular repolarization is a cellular electrophysiological process expressed in the electrocardiogram as the QT interval.
- Intramural differences in the ventricular repolarization are at the base of ST and T waves in the electrocardiogram.
- The QT interval is variable, and many factors affect its duration: heart rate, autonomic nervous activity, age, and gender are the main determinants.
- Many criteria correct the duration of QT interval for heart rate.
- Conditions provoking repolarization abnormalities (QT prolongation) are ionic changes, drugs, cardiac/noncardiac diseases, and genetic background (long QT syndromes).

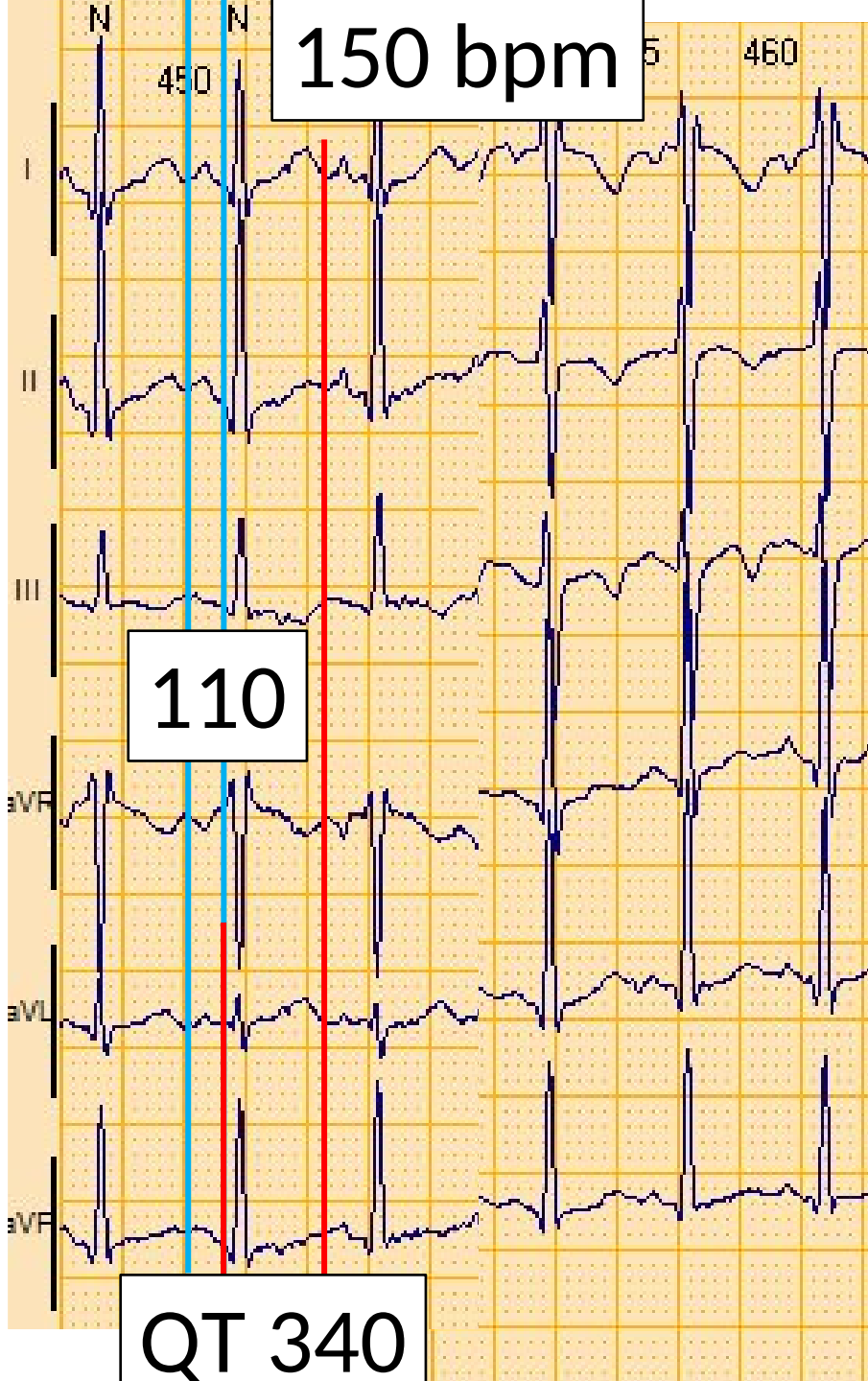
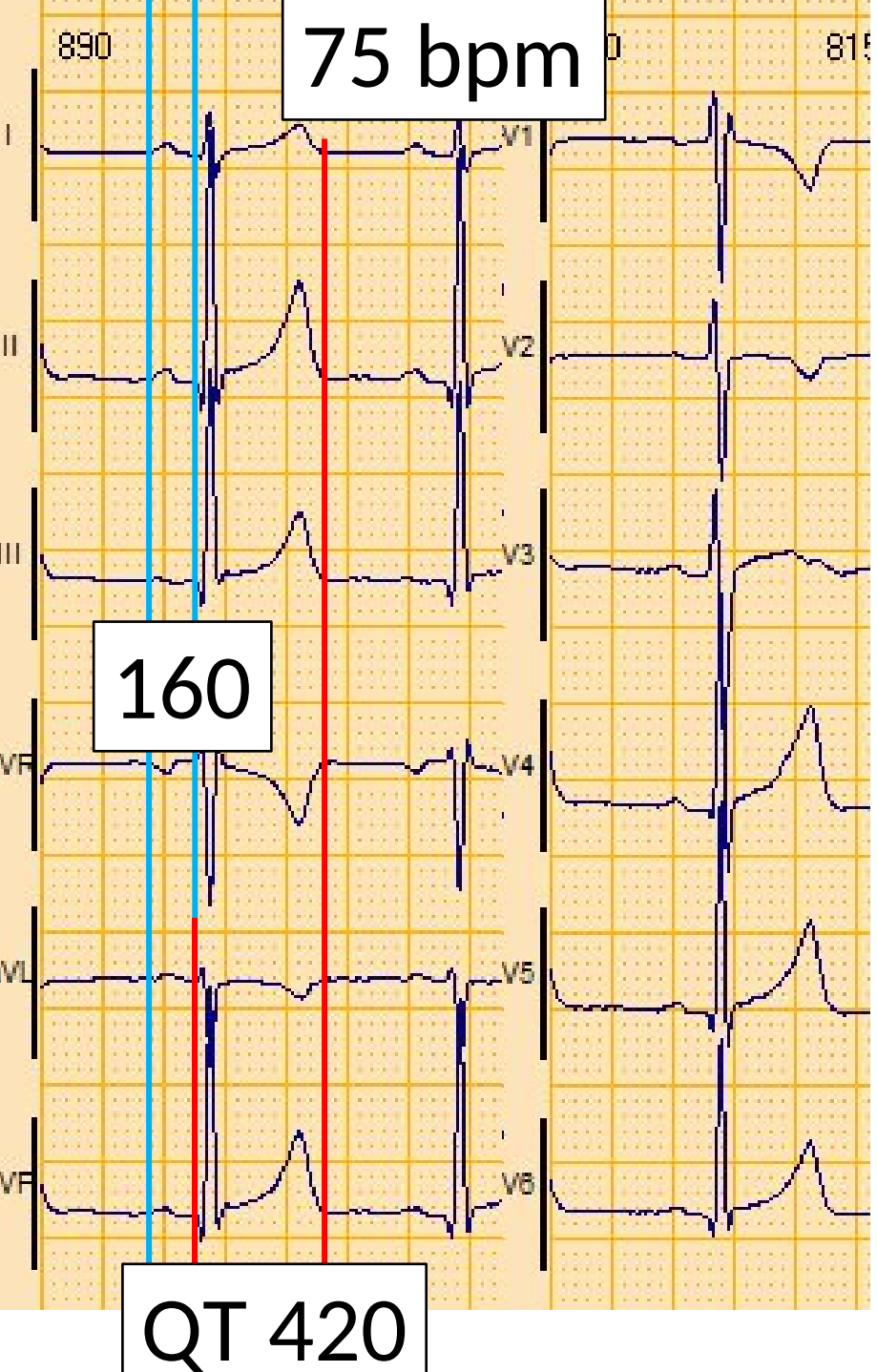
D: depolarization R: repolarization



 Endocardium
 M cells
 Epicardium



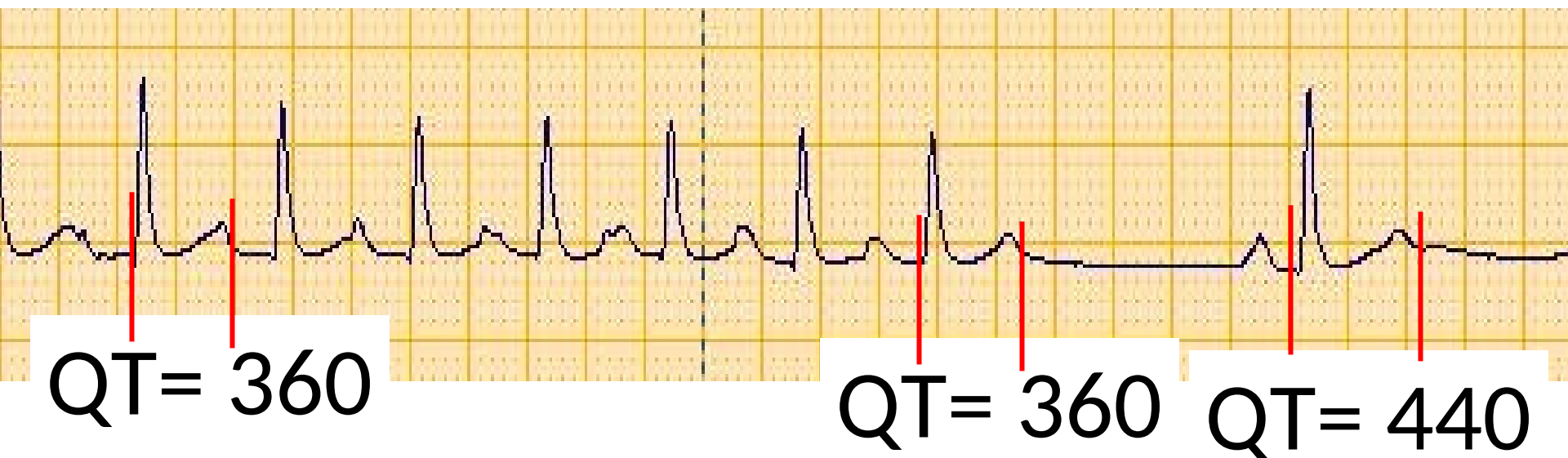




Dinamicità della Ripolarizzazione Ventricolare

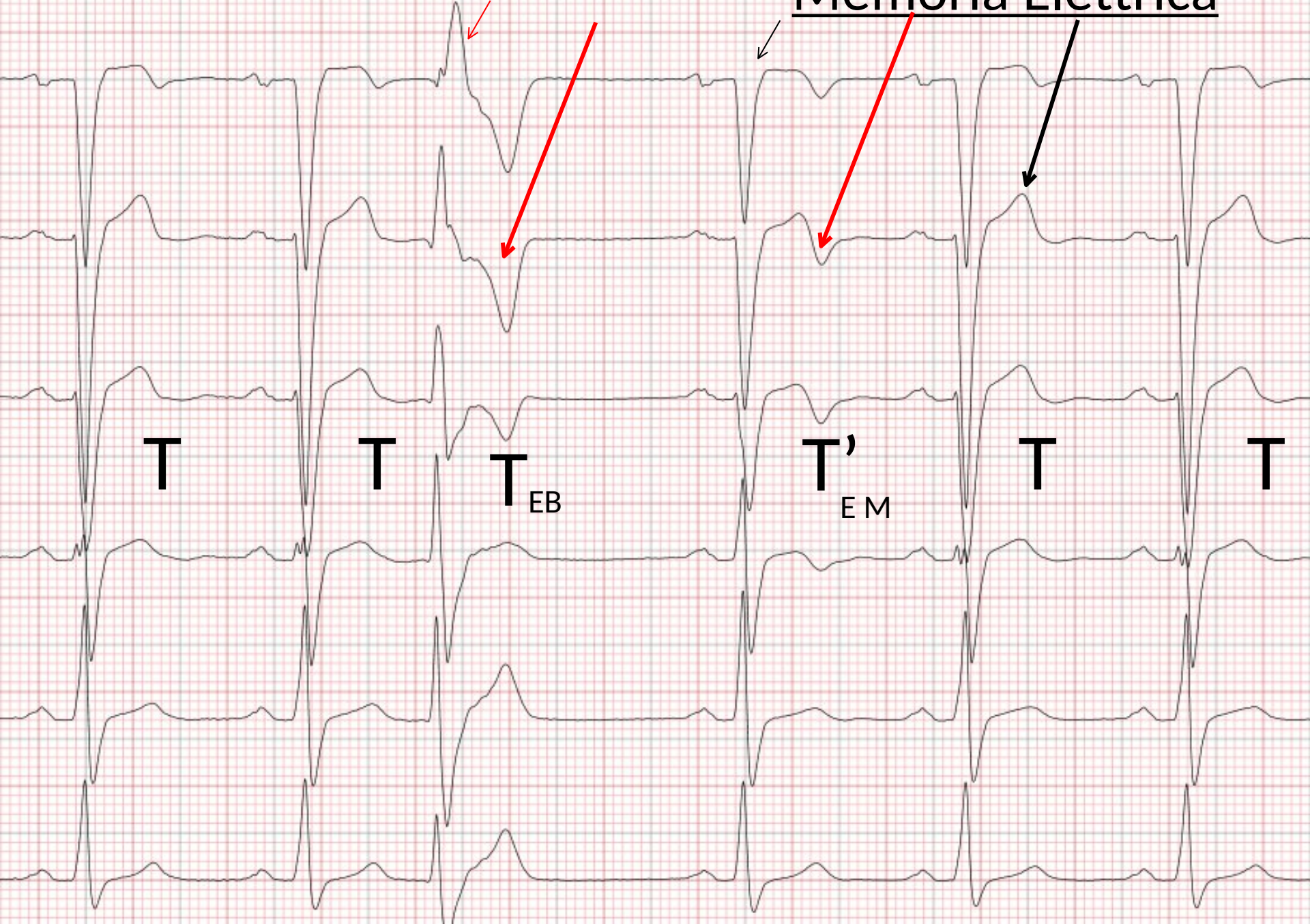
Capacità del miocardio di variare la refrattarietà (QT) in base alla frequenza

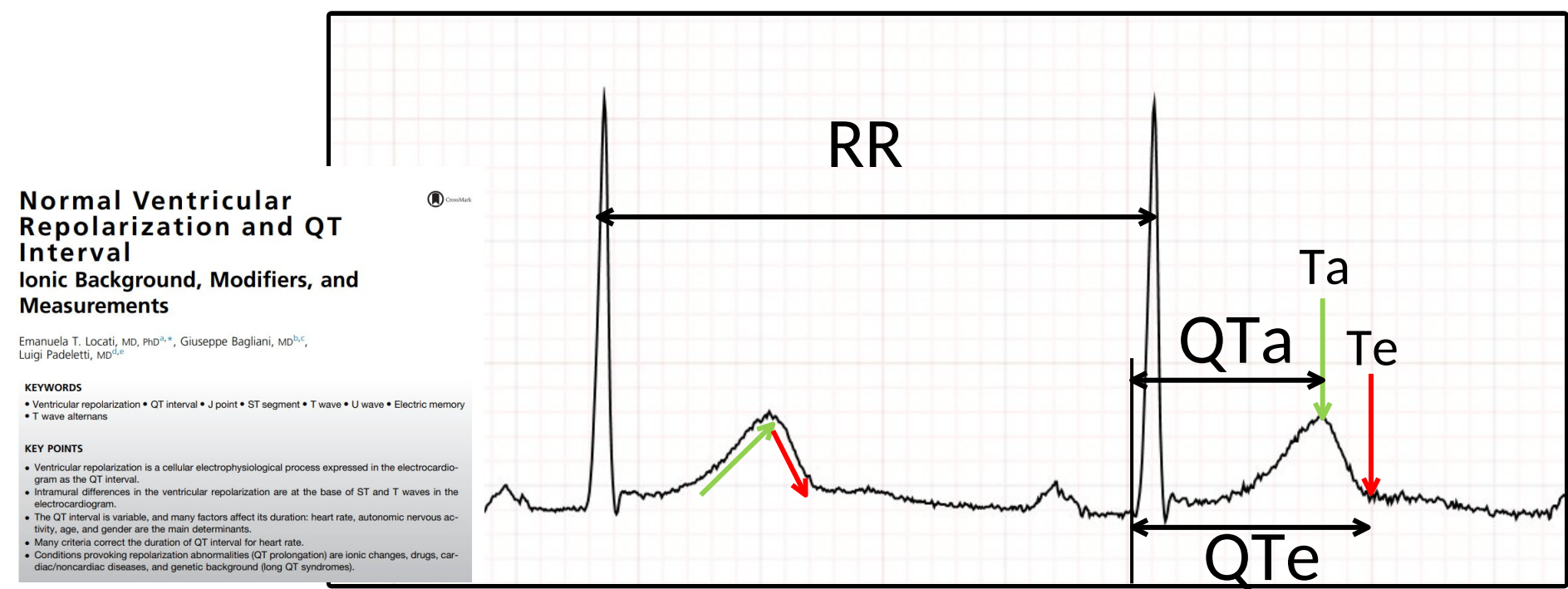
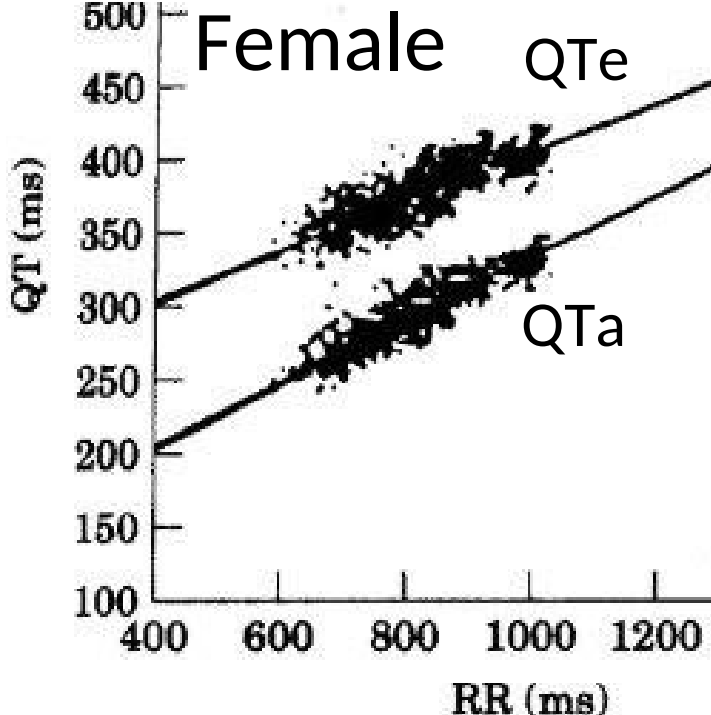
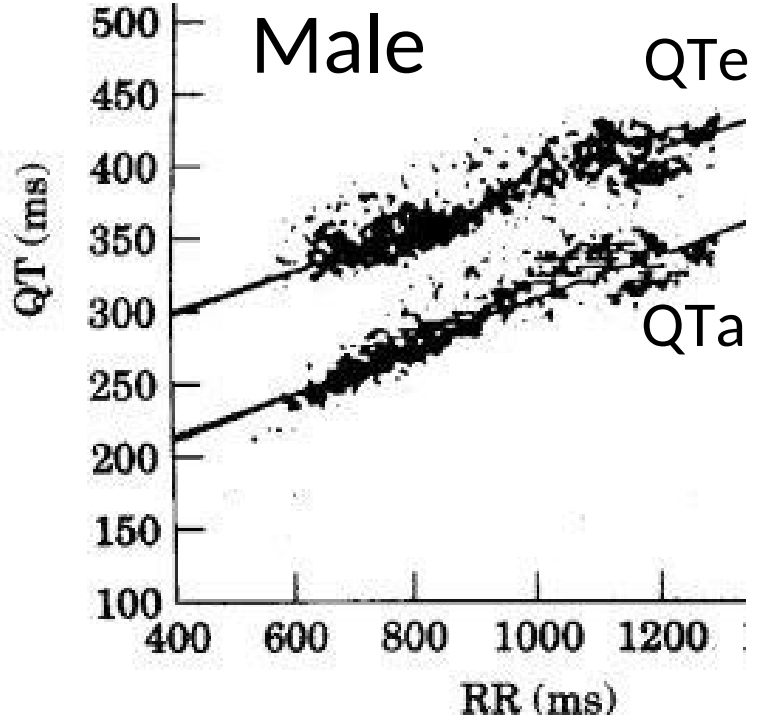
QT = 560



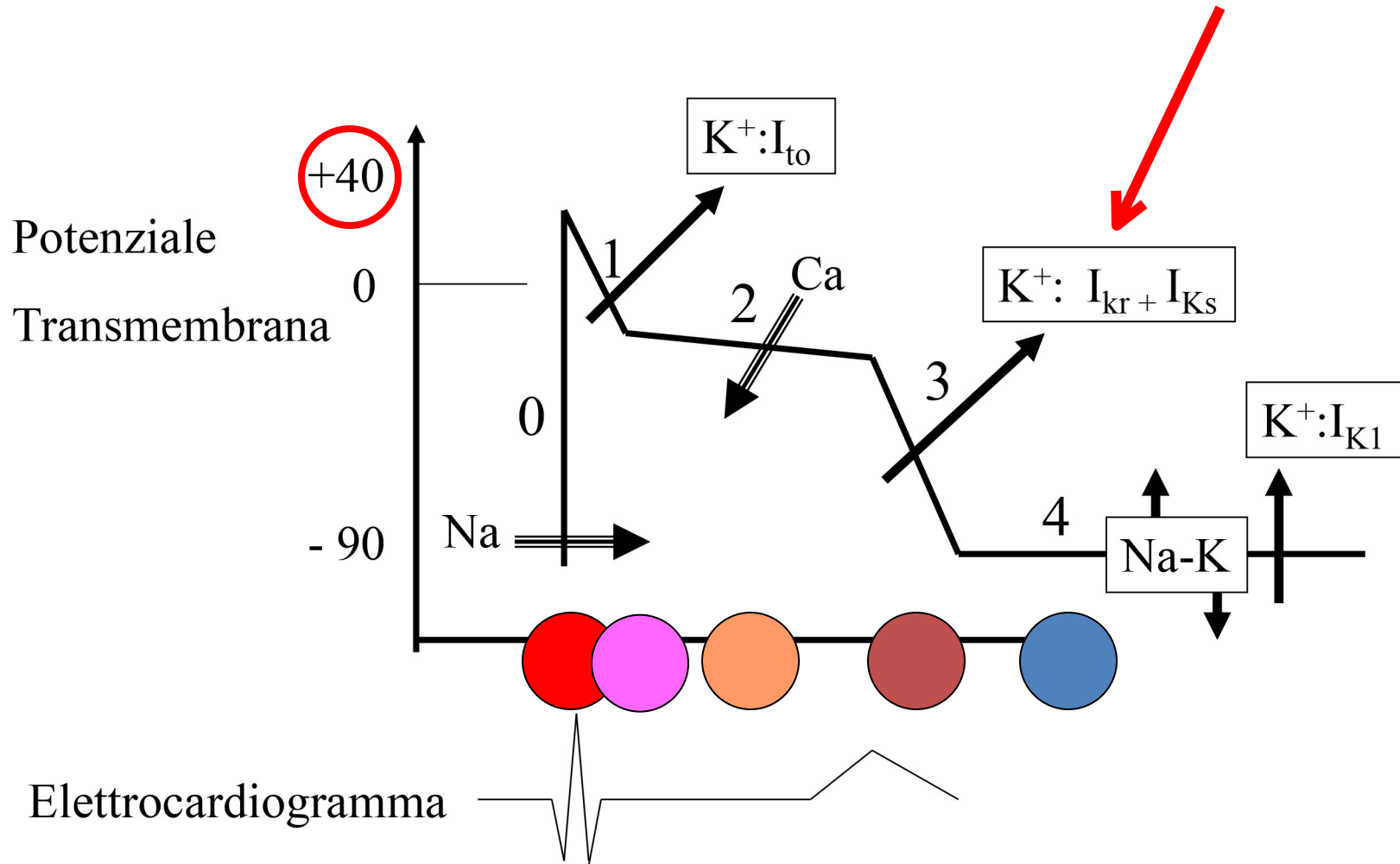
Extrasistole

Memoria Elettrica





Ruolo Principale del Potassio nel determinismo della Ripolarizzazione Ventricolare



Come correggere il QT per la frequenza cardiaca

il QTc

Come definire un QT Normale? In valore assoluto e corretto per la frequenza cardiaca

Table 1
Correction formula for rate-adjusted QT interval

Name of the Formula	Correction Formula
Bazett	$QT_c = QT / \sqrt{RR}$
Fridericia	$QT_f = QT / \sqrt[3]{RR}$
Linear	$QT_l = QT + a(1-RR)$
Exponential	$QT_e = QT - b e^{-k1000} - e^{-kRR}$
Prediction	$QT_p (\text{ms}) = 65.600 / (100 + \text{heart rate})$

QTc

QT corretto per la frequenza cardiaca

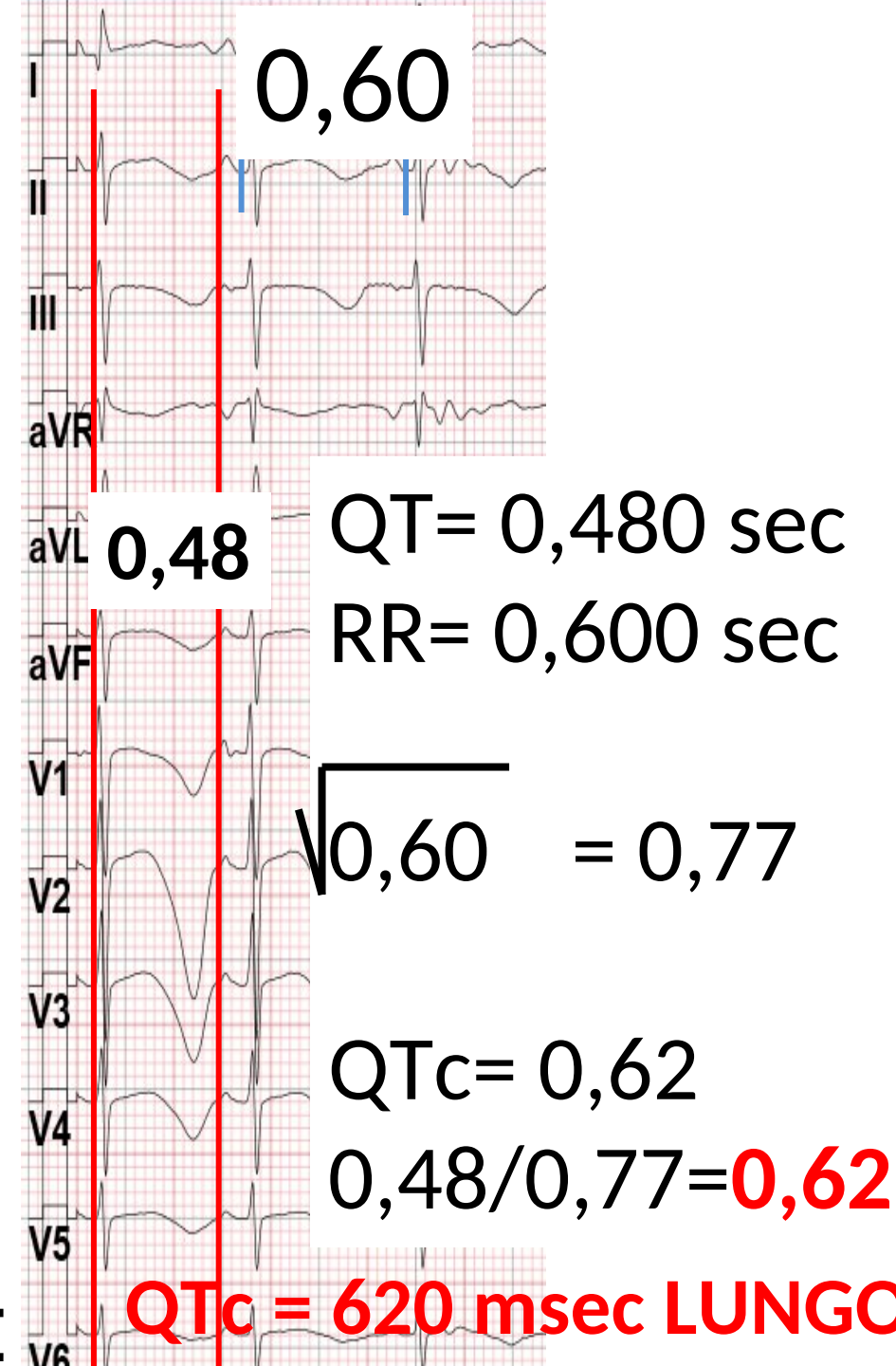
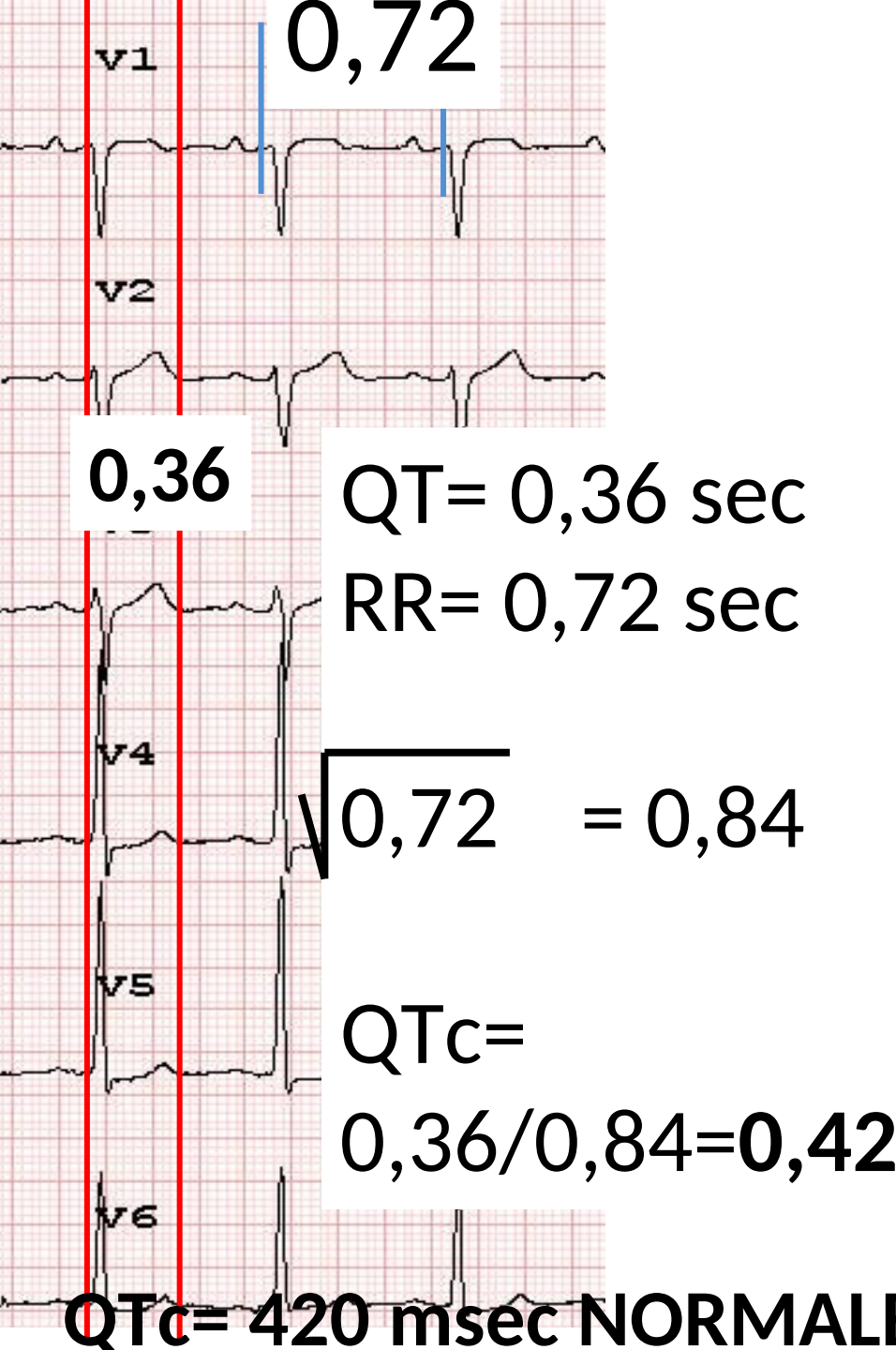
La formula di Bazett: $QTc = QT \sqrt{RR}$

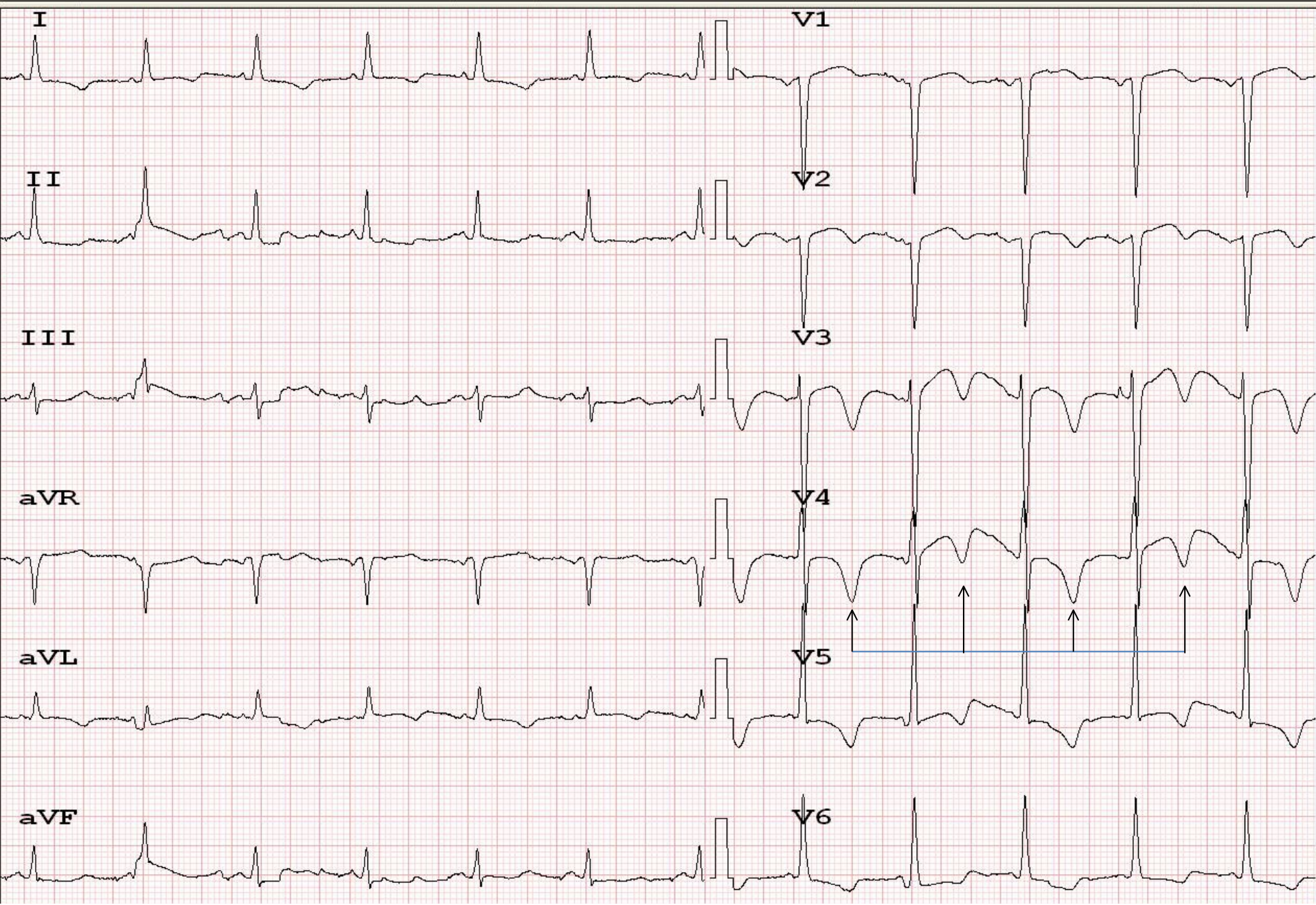
- Il QTc fornisce il limite superiore di normalità:
- 440 msec per uomo
- 460 msec per donna

NB: notoriamente la Bazett's

- soprastima alle alte frequenze (falso QT lungo)
- sottostima alle basse frequenze (falso QT normale)

Alcuni esempi di calcolo:
ricordare di fare le misure in secondi





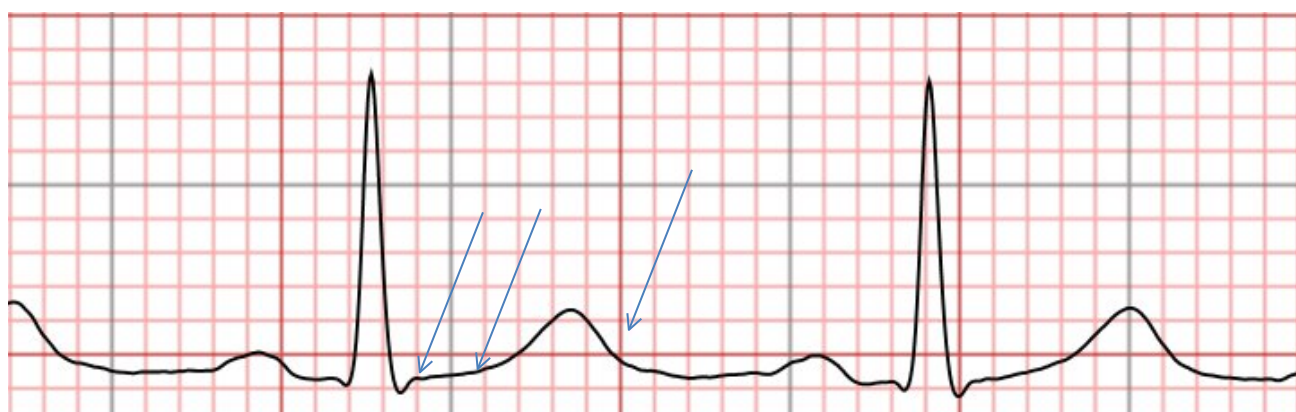
Analisi della Ripolarizzazione

come strumento diagnostico di Cardiopatie

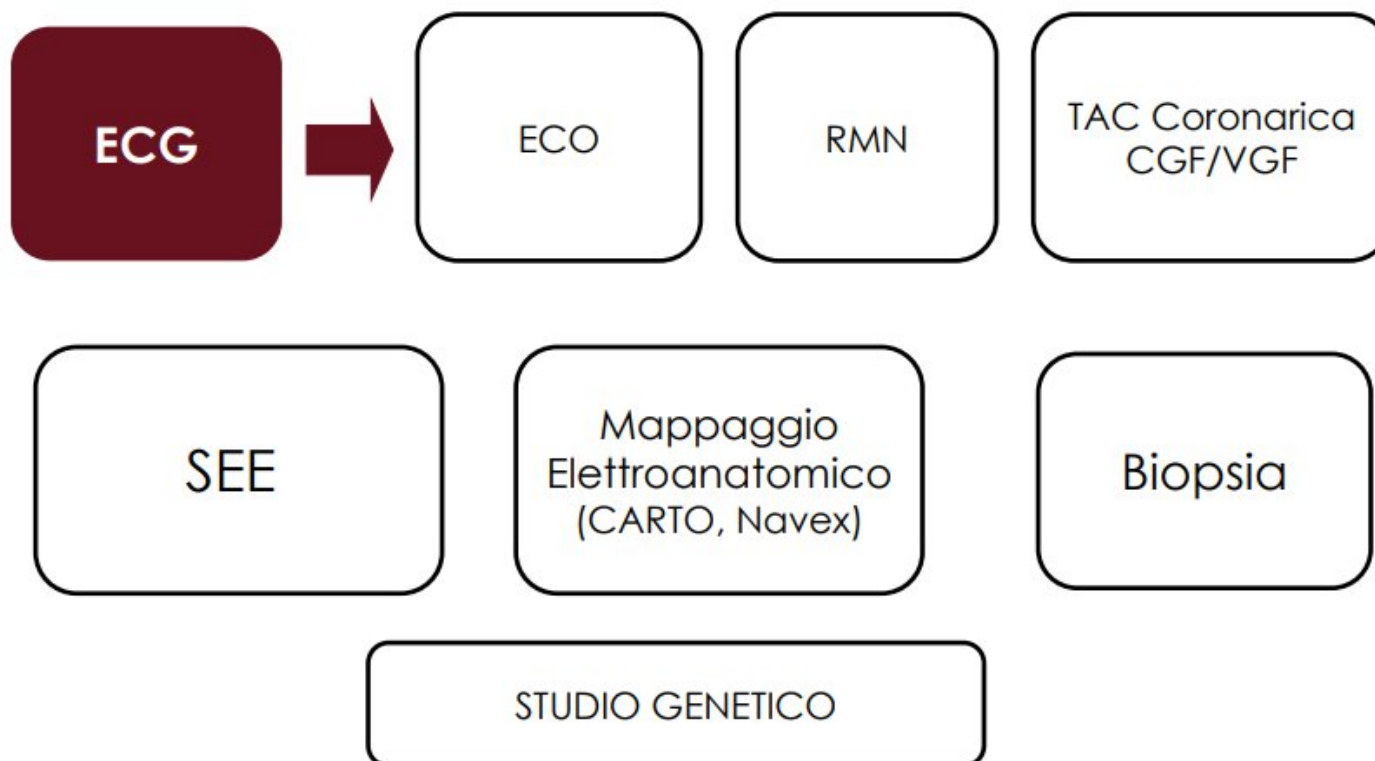
- a) Ischemia
 - b) Miocardiopatia
 - c) Miocarditi
-

Studio delle Canalopatie Aritmogene

- a) J Syndromes
- b) TV Polimorifica Catecolaminergica
- c) LQTS: QT lungo
- d) SQTS: QT corto



Percorsi diagnostici nel sospetto di patologie complesse



Nome:

11-GIU-2020 16:51

Sesso:M

Data di nascita:

Anni

Farmaci:

Sintomi:

cm

kg

/ mmHg

10 mm/mV 25 mm/s

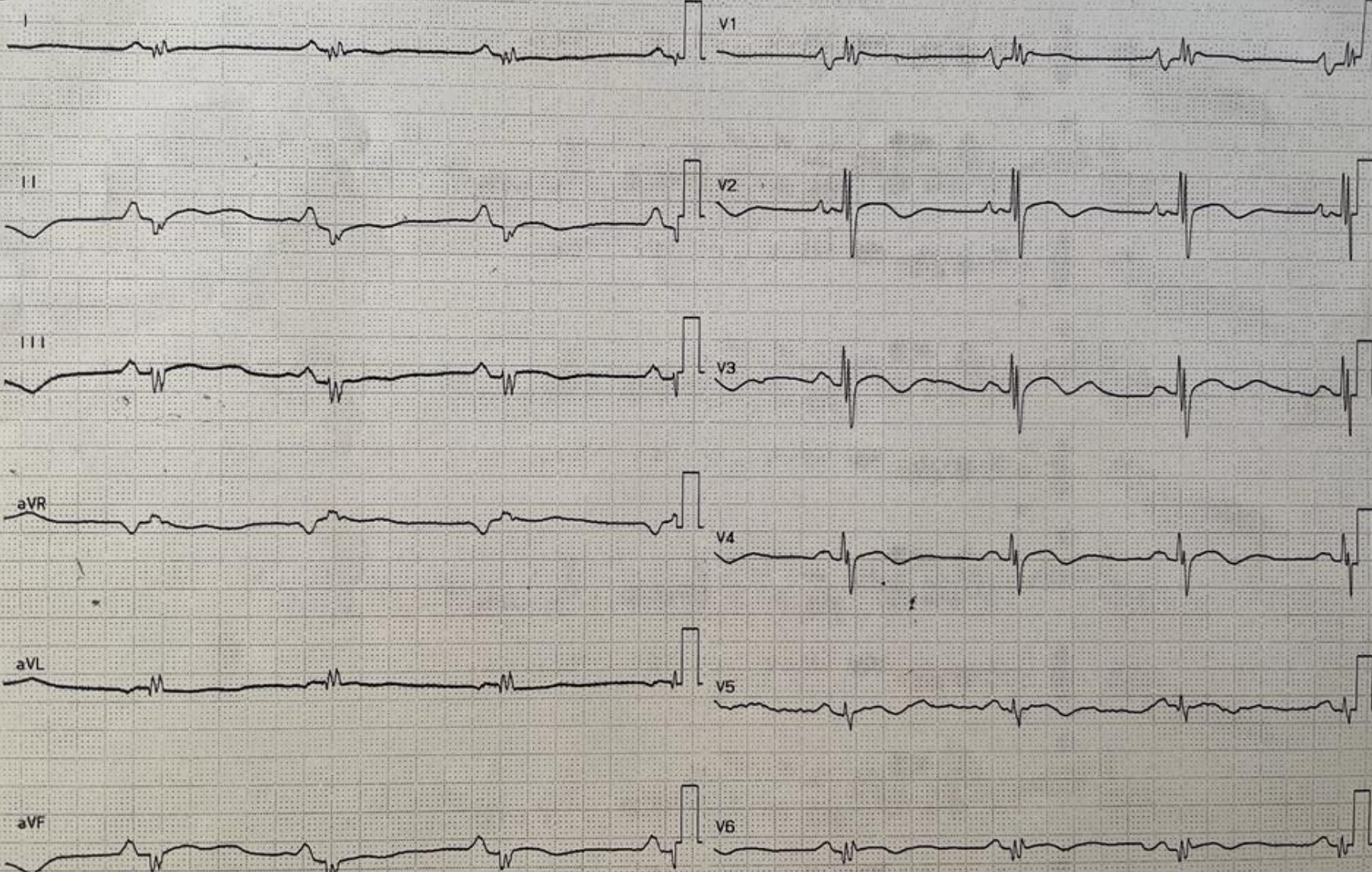
Filtri: H50 d 100 Hz

Anamnesi:

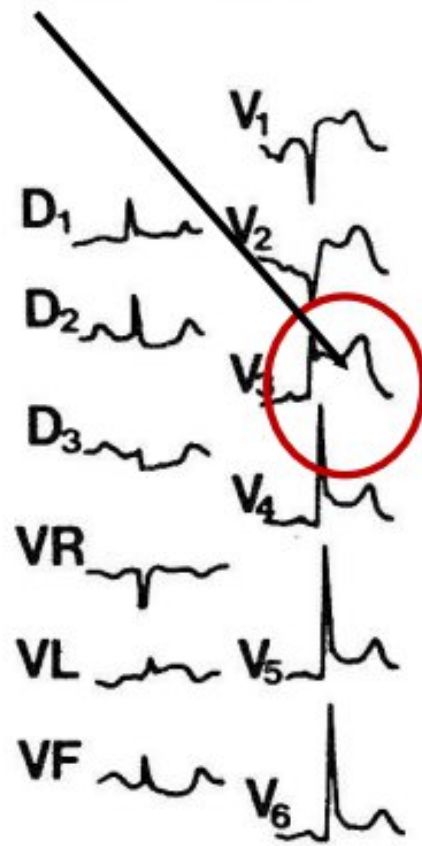
10 mm/mV

48 bpm

esale



Ischemia transmurale

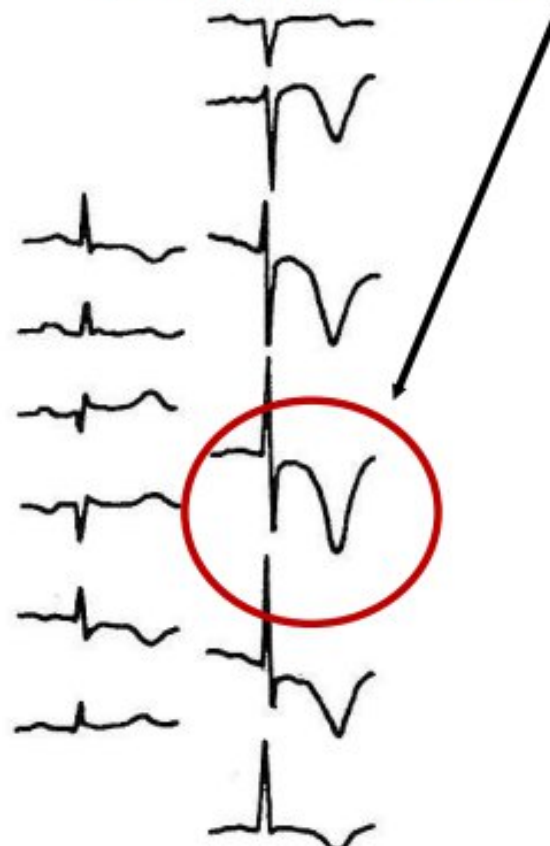


ANGOR

DOPO 10'

(Asintomatico)

T neg. Post-ischemiche



DOPO 24 ORE

(Asintomatico)

Programma congresso

Sabato 1 Ottobre 2022

11.30 - 12.40

PREVENIRE LA MORTE IMPROVVISA

Moderatori: V. Castelli, Roma - F. Quaranta, Roma - F. Sperandii, Piacenza

I bassi voltaggi del QRS negli sportivi: quali implicazioni cliniche?

M. Tatangelo, Roma

Ripolarizzazione precoce: quali soggetti a rischio

E. Toso, Torino

Extrasistolia ventricolare nell'atleta: dall'ECG al substrato

M. De Lazzari, Padova

Anomalie di ripolarizzazione nel soggetto giovane: diagnosi differenziali e corretti percorsi diagnostici

G. Baglioni, Foligno - PG

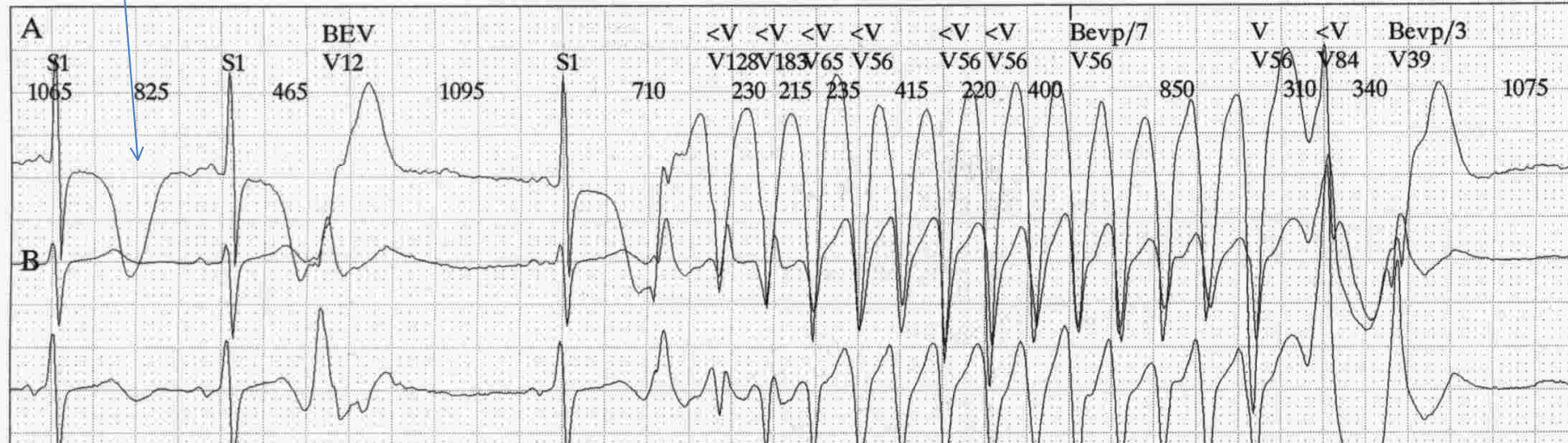
I nuovi criteri per la diagnosi di cardiomiopatia aritmogena applicati agli sportivi: cosa cambia?

F. Graziano, Padova

Genotipo:Sindrome del QT Largo

Fenotipo ECG: QT Lungo

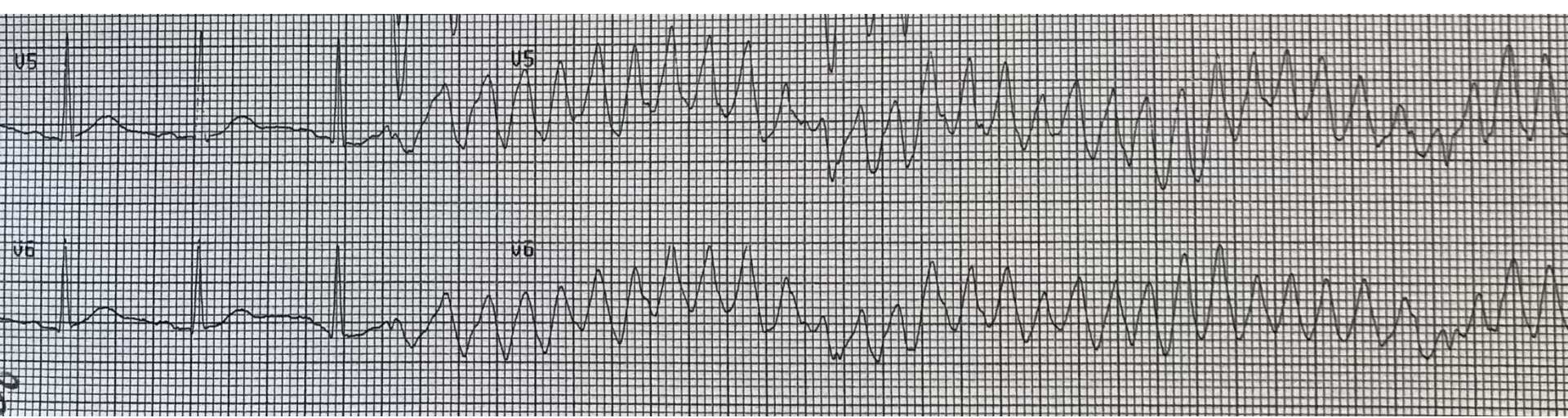
Fenotipo Aritmico: Torsione di Punta



Sindrome del QT Corto

Fenotipo ECG: QT Corto

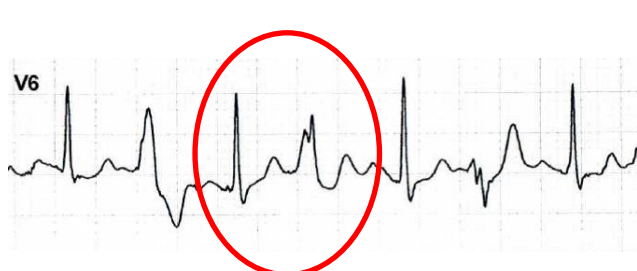
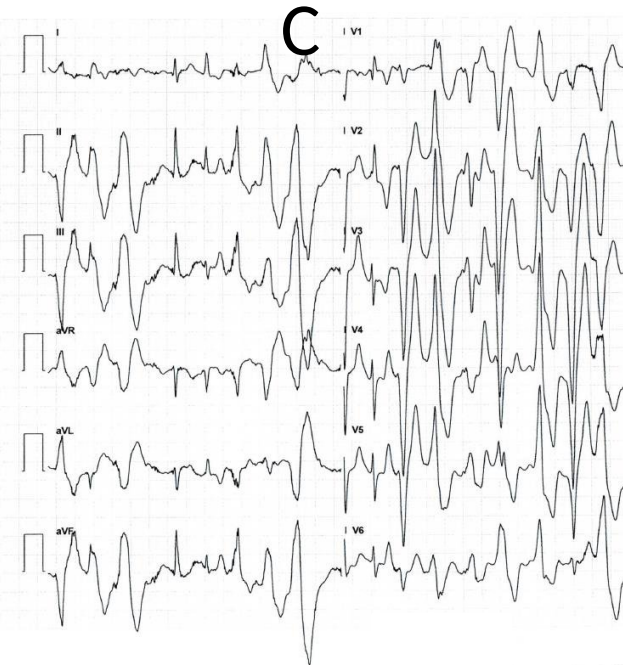
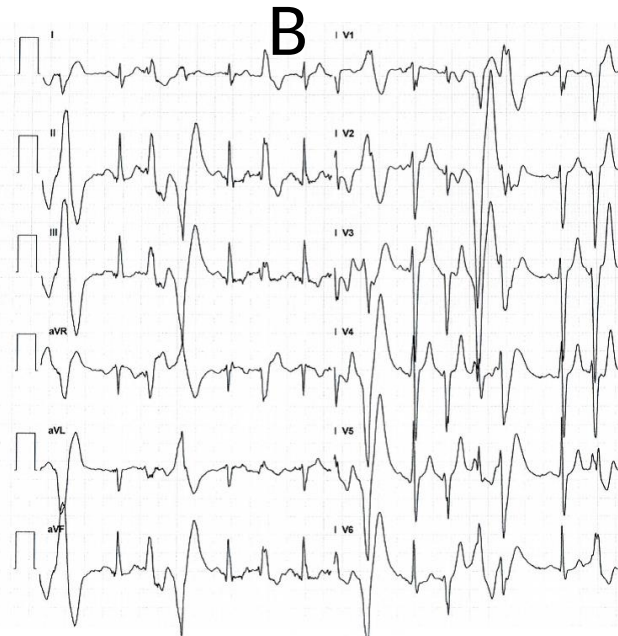
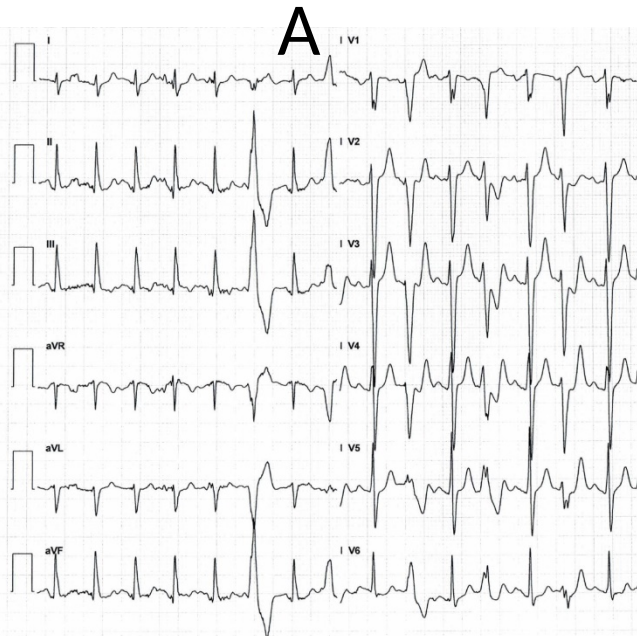
Fenotipo Aritmico: Fibrillazione Ventricolare



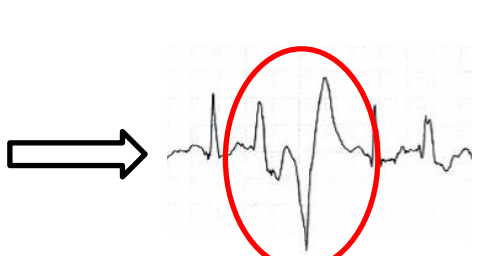
Tachicardia Ventricolare Polimorfa
Anomalia del rilascio del Calcio

Fenotipo ECG: non evidente

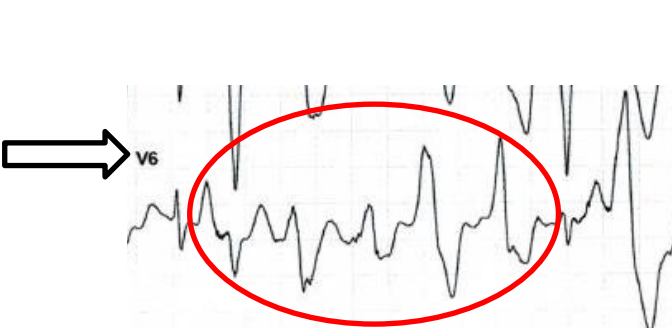
Fenotipo Aritmico: ExV , Bidirezionalità, TVP, FV



Bigeminismo



Bidirezionalità



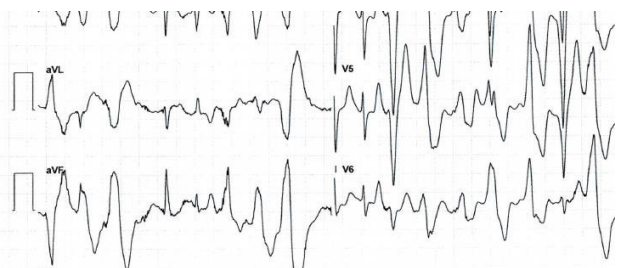
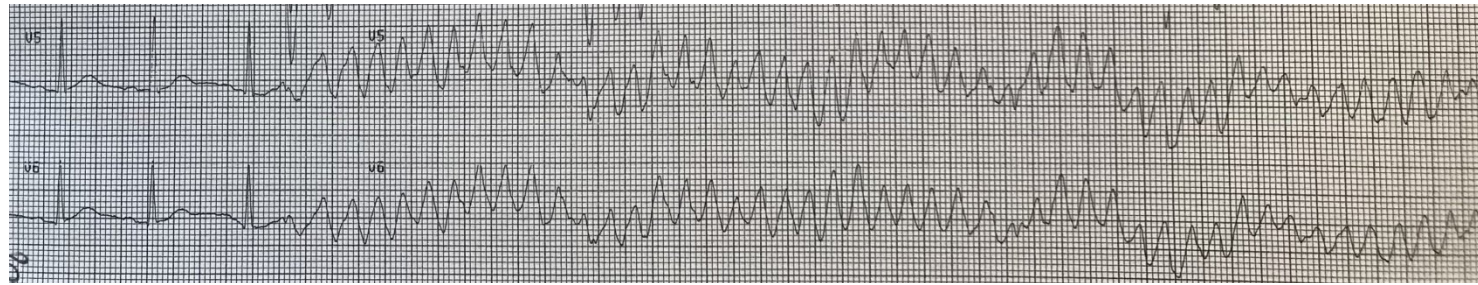
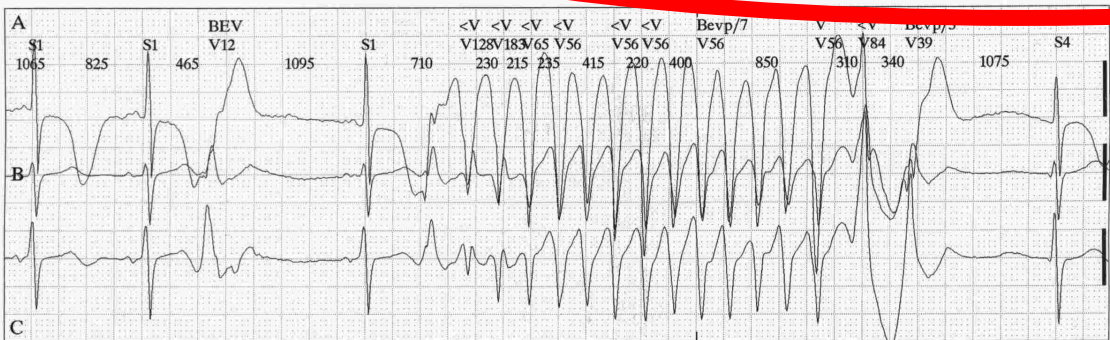
Polimorfismo

Sabato 1 Ottobre 2022

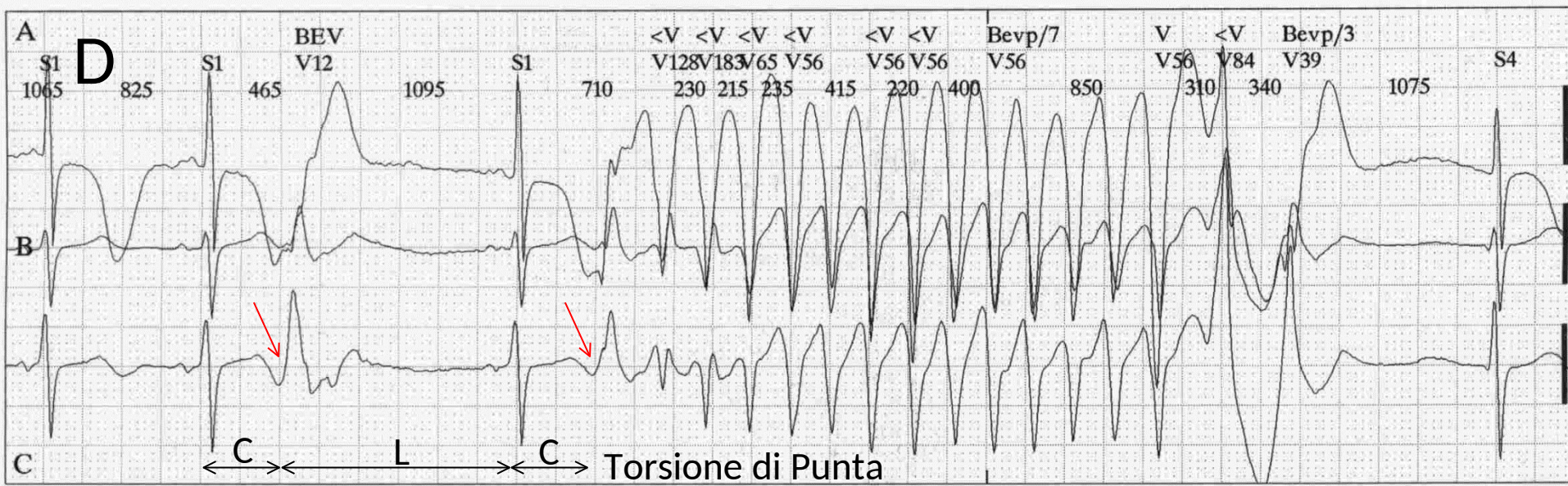
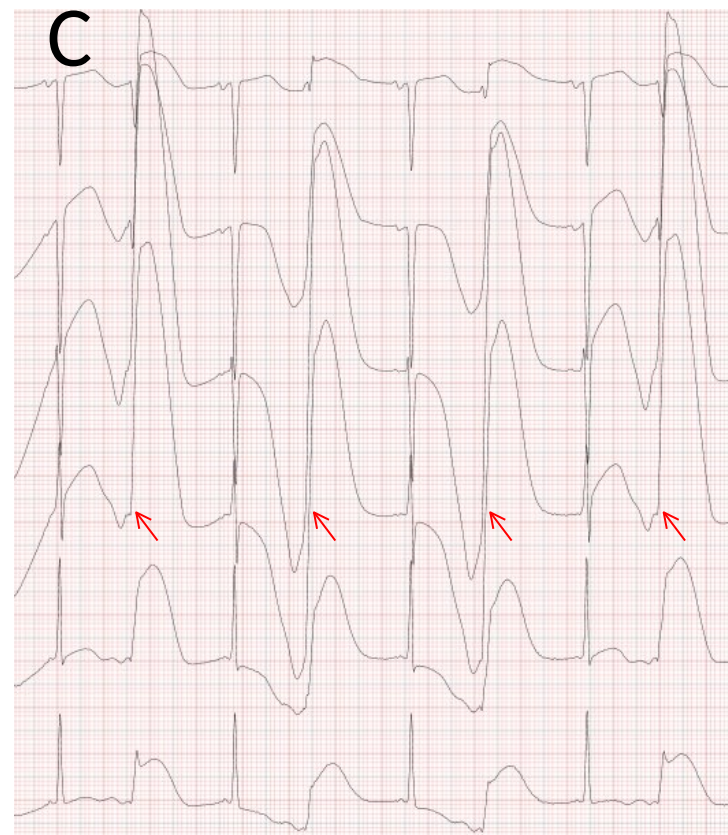
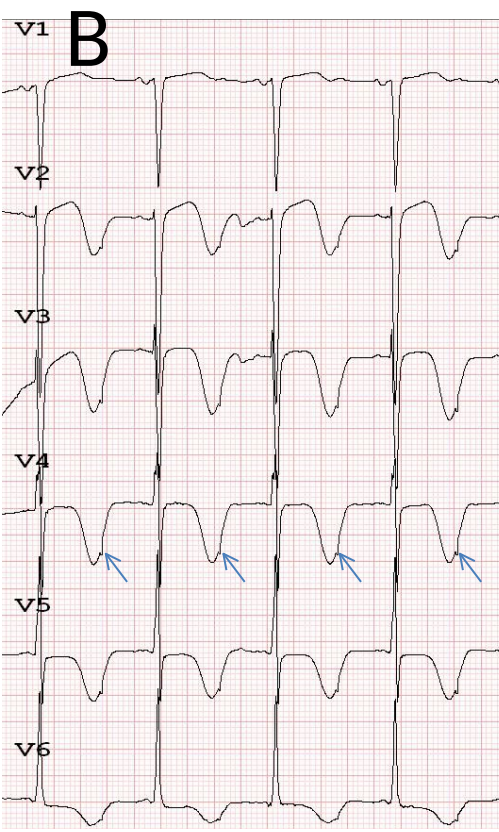
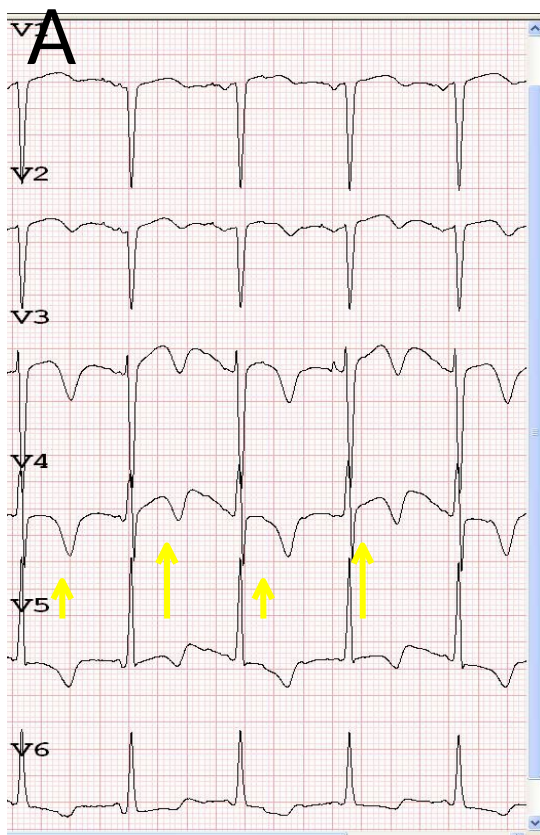
11.30 - 12.40

PREVENIRE LA MORTE IMPROVVISA

Anomalie di ripolarizzazione nel soggetto giovane: diagnosi differenziali e corretti percorsi diagnostici



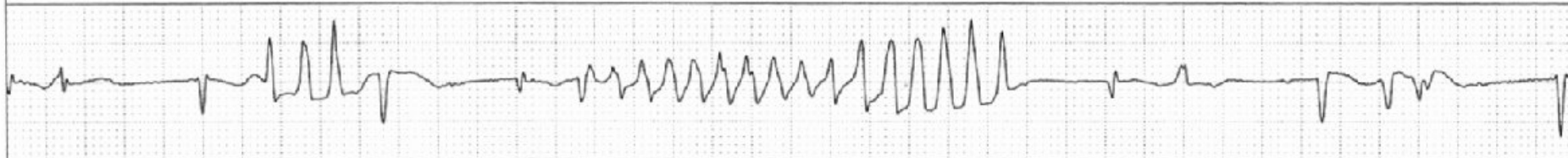
Analisi «di Precisione» dell'ECG



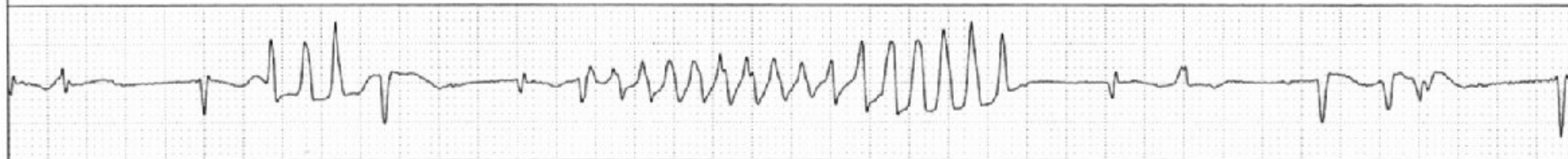
FC(38 bpm)



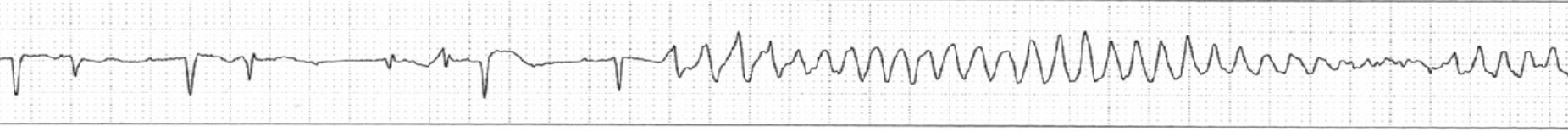
VF



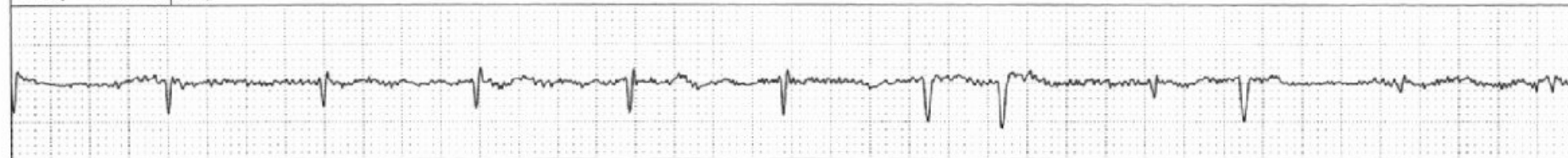
VT



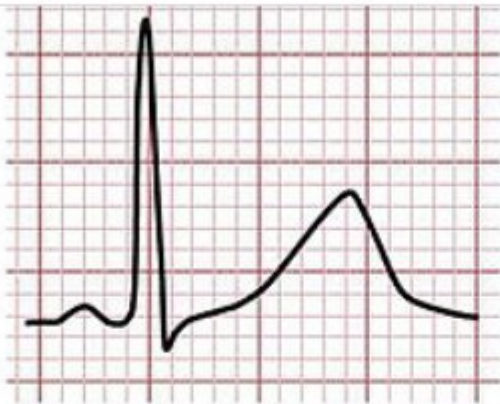
VF



FC(78 bpm)



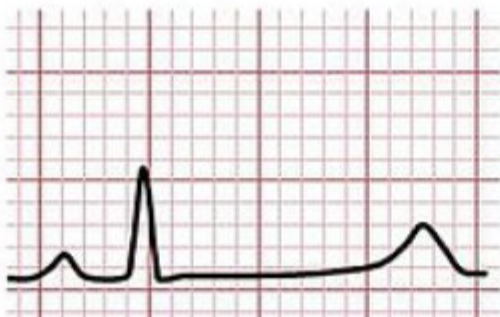
LQT1



LQT2



LQT3



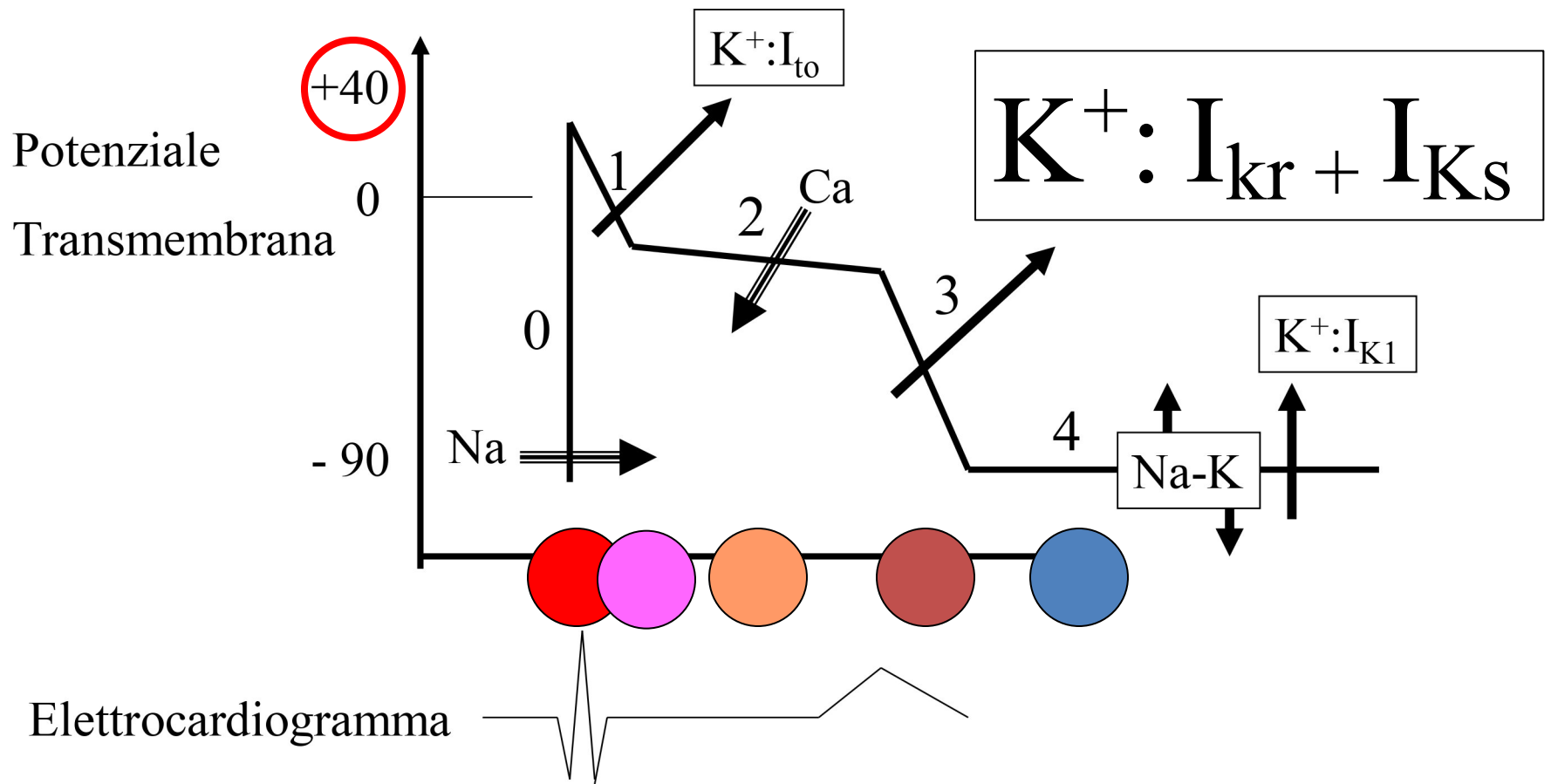
Analisi Geno-Fenotipica

3 principali stereotipi morfologici
di LQTS (in realtà + numerosi)

A ciascun pattern ECG corrisponde

- a) una specifica anomalia genetica
- b) Una modalità di insorgenza della TdP
- c) Una specifica terapia gene-specifica

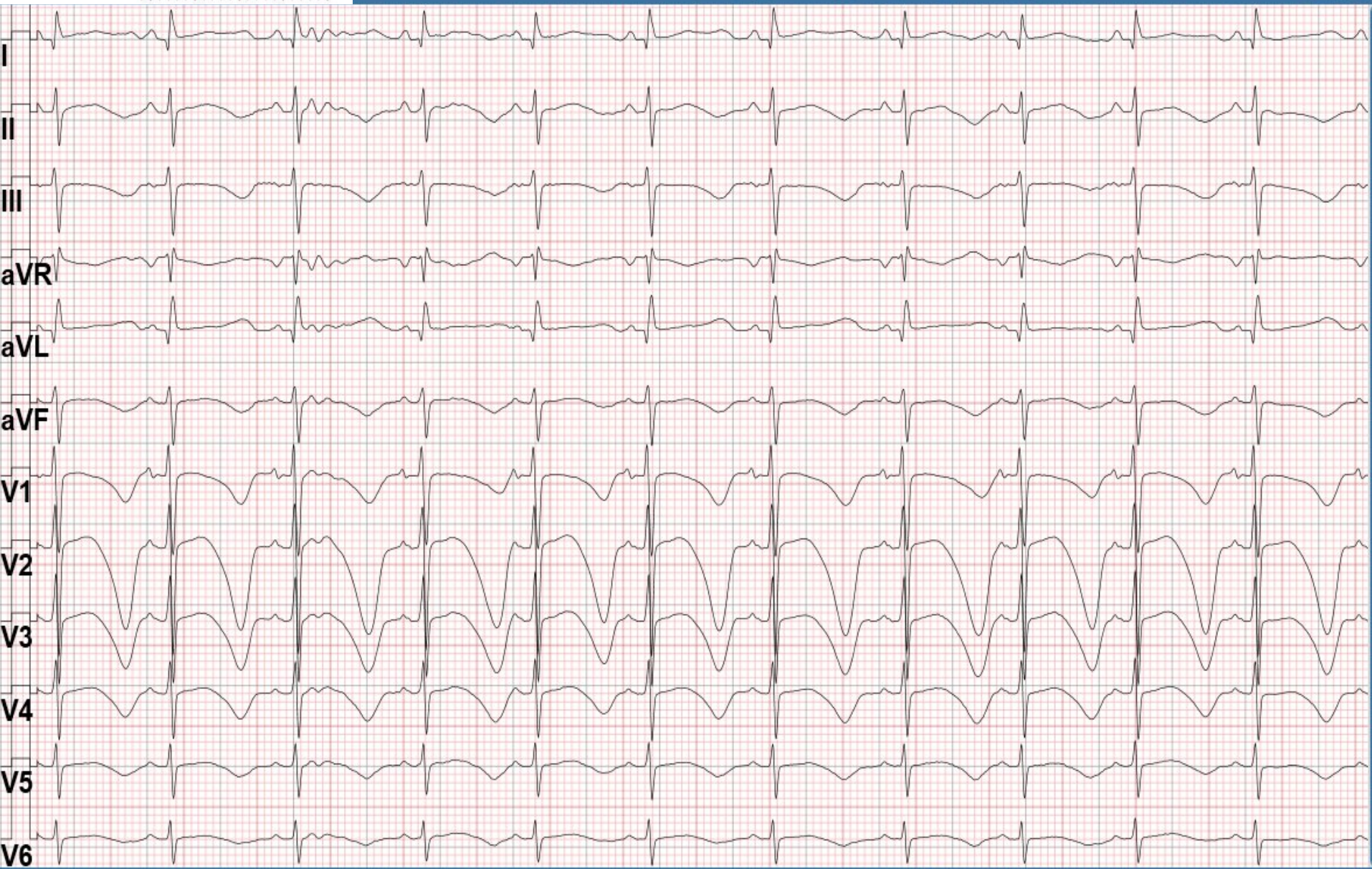
Ruolo Principale del Potassio nel determinismo della Ripolarizzazione Ventricolare



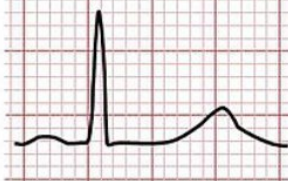
LQT1



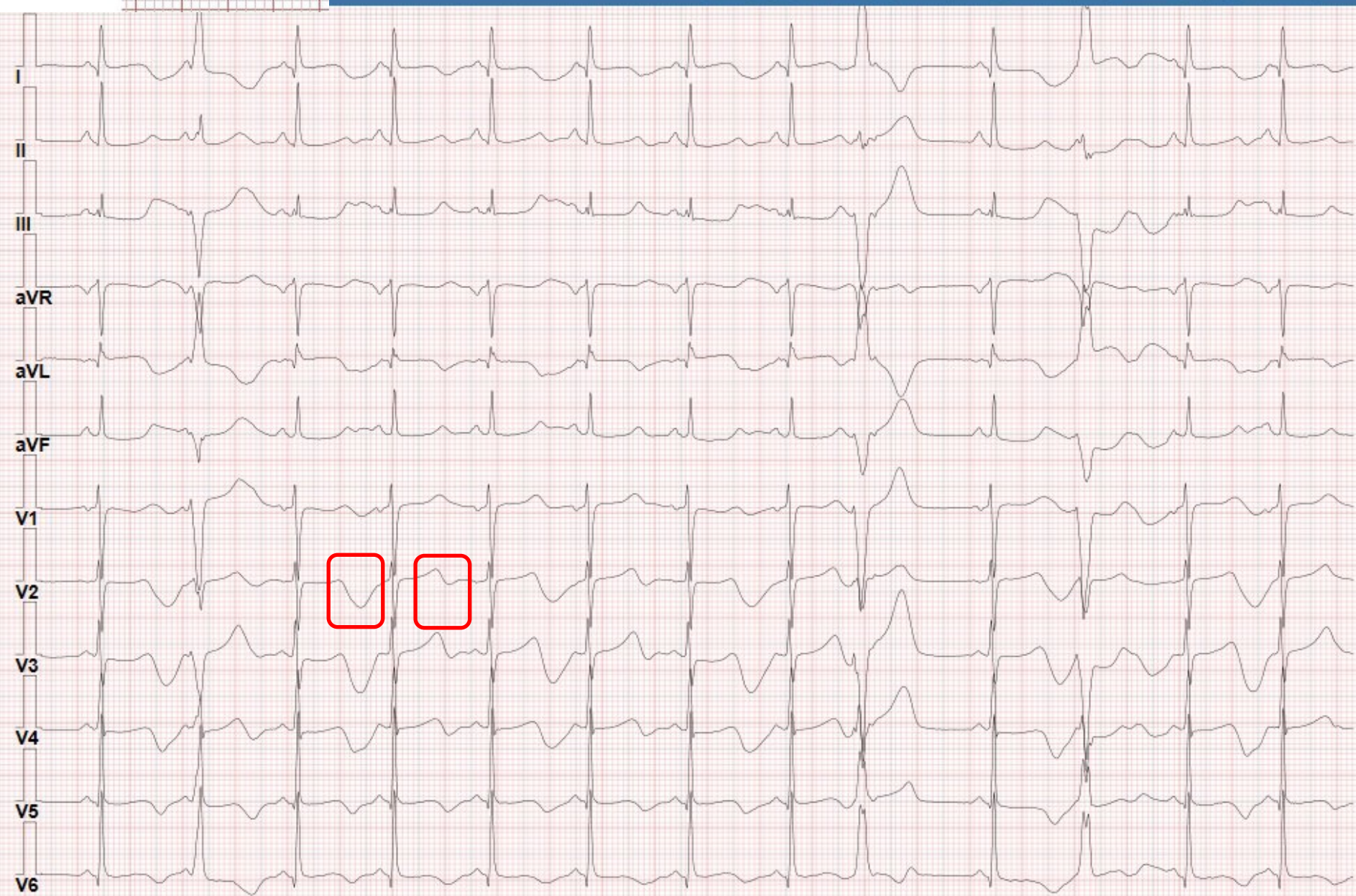
QT allungato, T a base larga con tratto ST ridotto



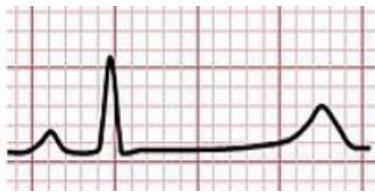
LQT2



QT allungato, T con anomalie (bifida ,notch, alternans), ST mantenuto



LQT3



QT prolungato, T stretta , ST prolungato

I (Einthoven)

II

III

aVR

aVL

aVF

V1

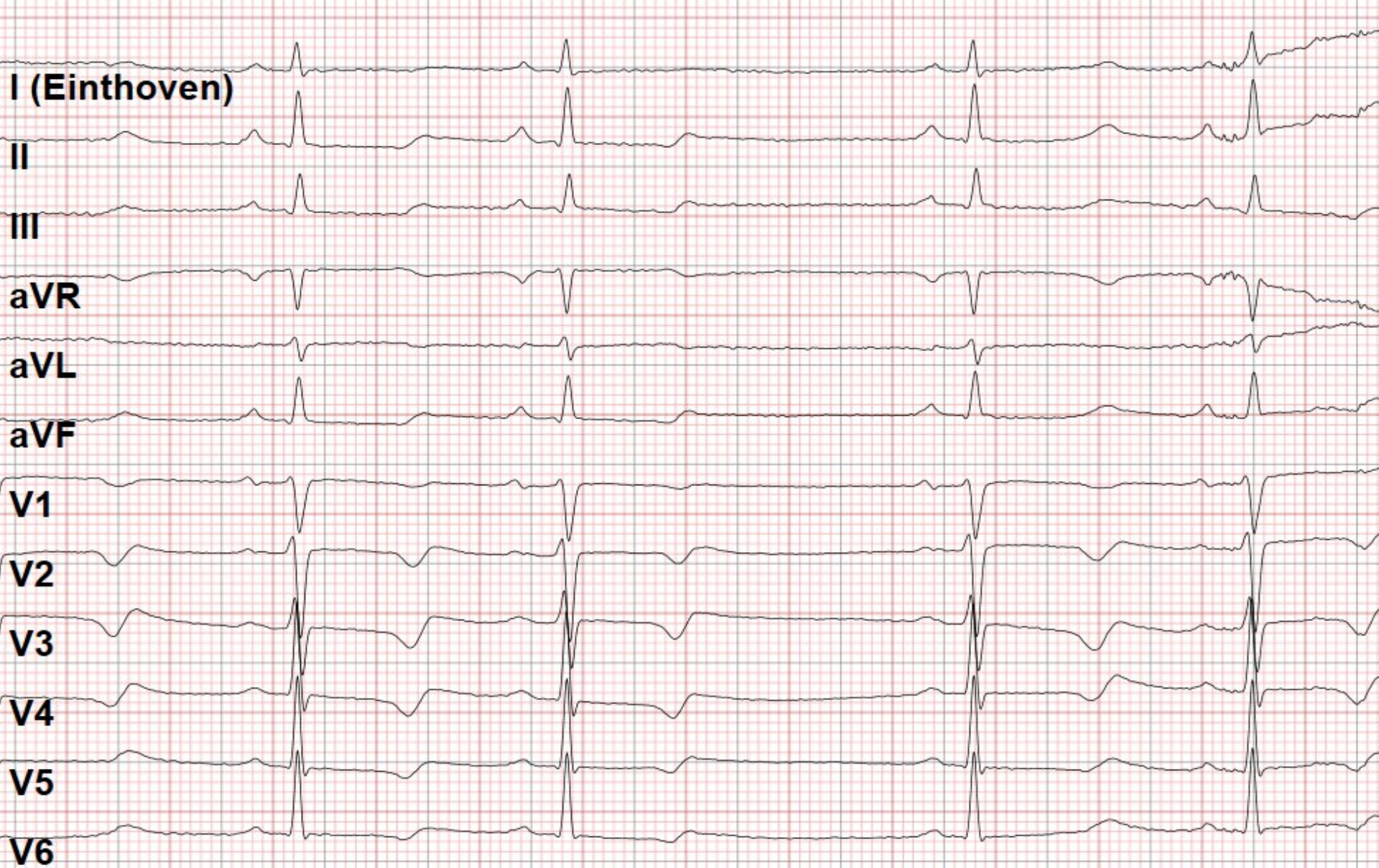
V2

V3

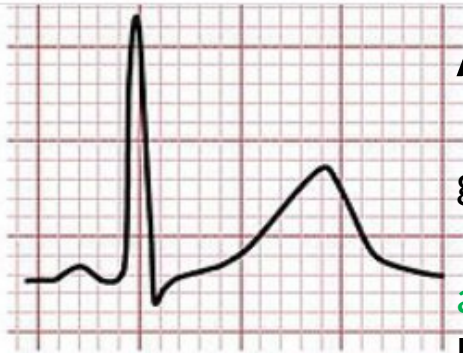
V4

V5

V6



LQT1

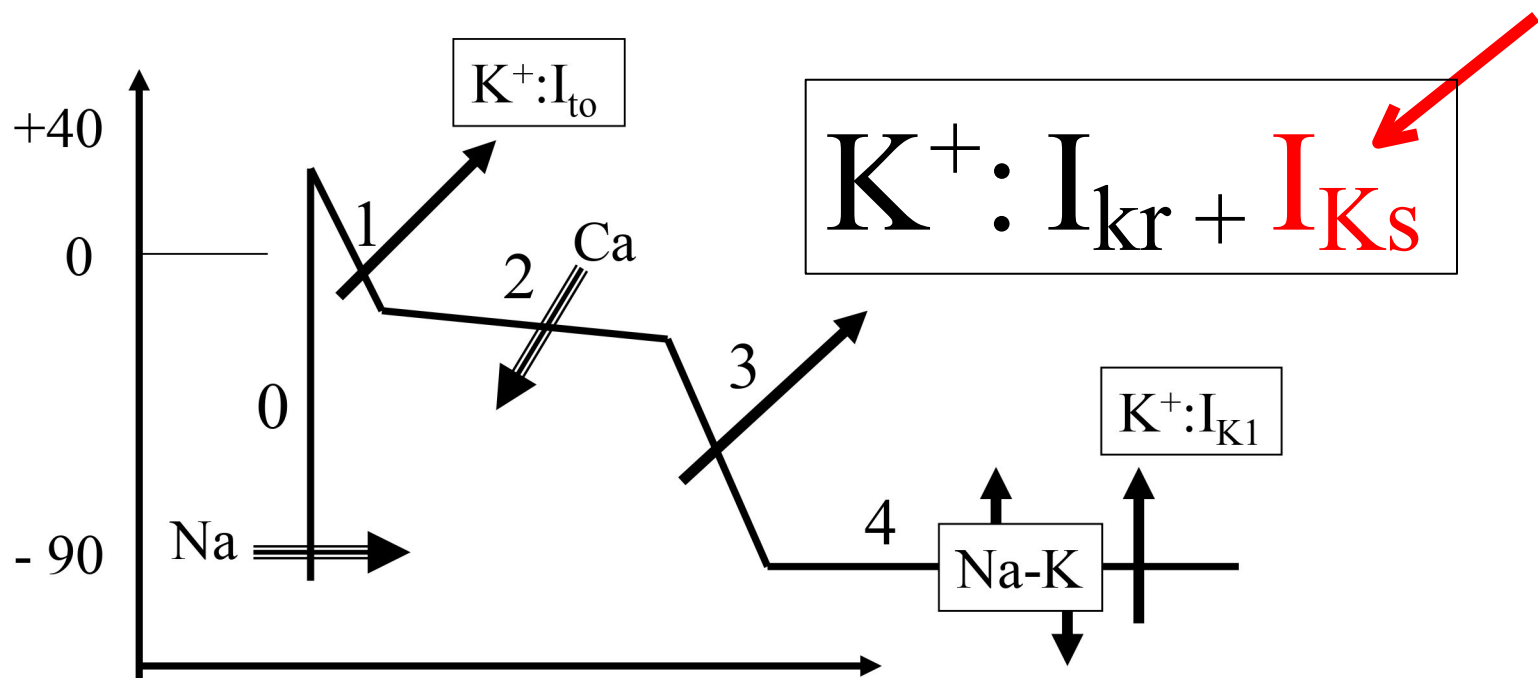


Analisi Geno-Fenotipica

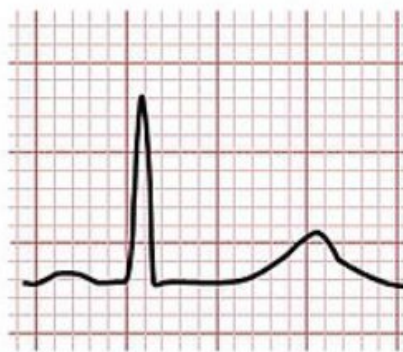
Anomalia Genetica di KVLQT1 (KCNQ1)
gene codificante il canale dell' I_{Ks}

All'anomalia Genica corrisponde

- a) compromessa I_{Ks}
- b) insorgenza della TdP: da SFORZO, Stress
- c) Una specifica terapia gene-specifica : Beta bloccante



LQT2

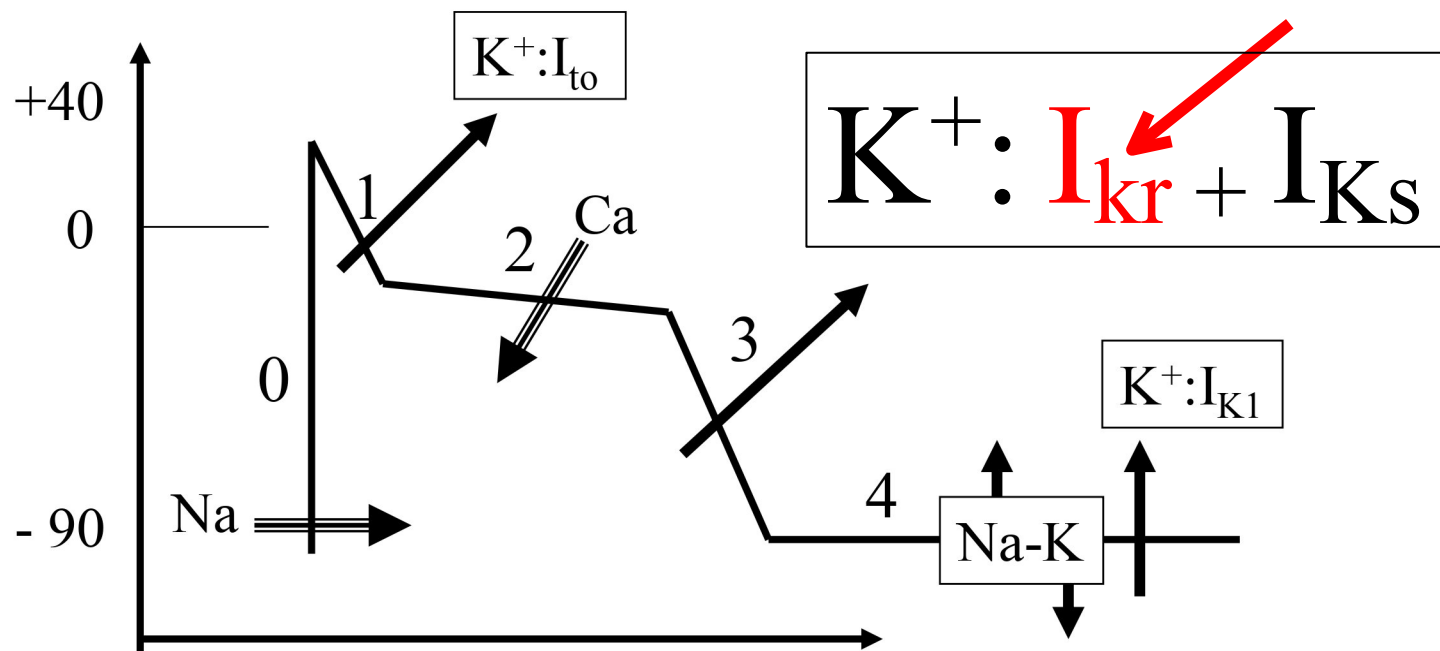


Analisi Geno-Fenotipica

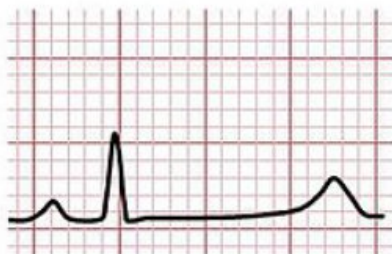
Anomalia Genica: hERG (KCNH2), gene codificante il canale dell' Ikr

All'anomalia genica corrisponde

- a) Compromessa IKr
- b) modalità di insorgenza della TdP: a riposo con brusca variazione di FC (stress acuto al risveglio)
- c) Una specifica terapia gene-specifica : > Potassiemia



LQT3



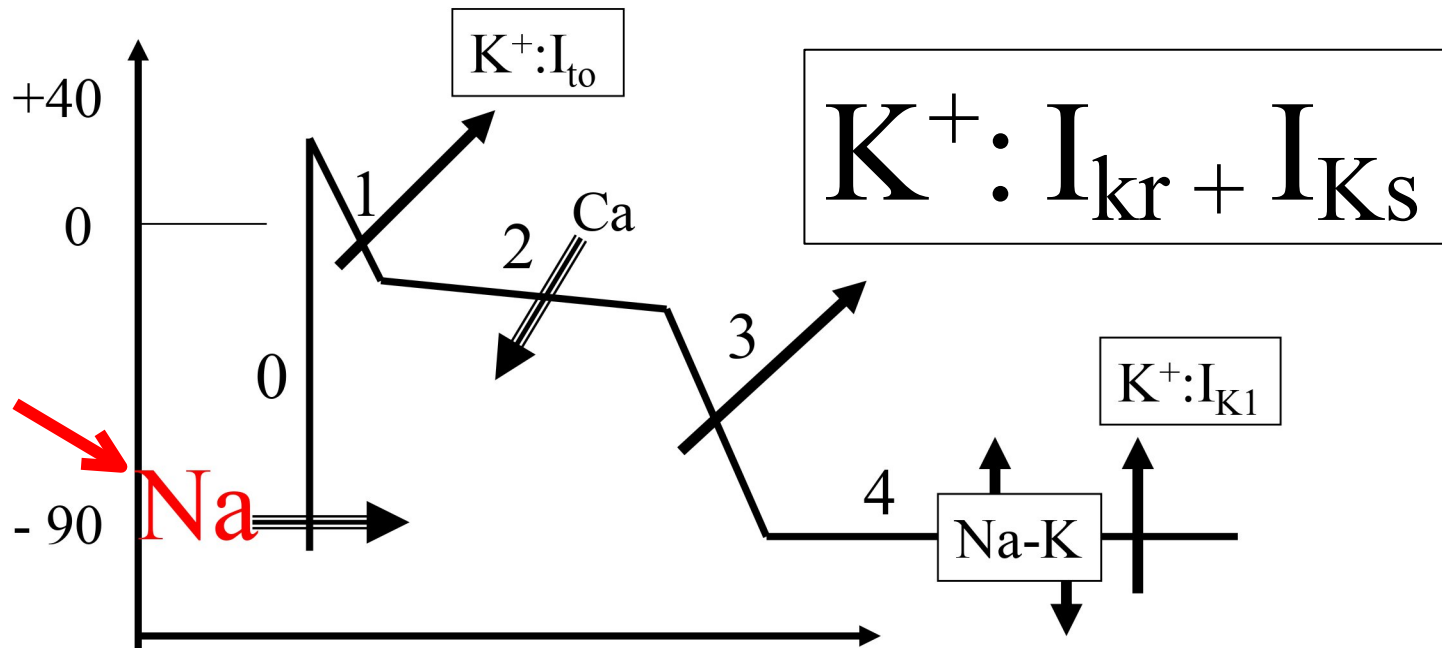
Analisi Geno-Fenotipica

Anomalia genica : SCN5A

Codificante la corrente rapida del Sodio (INa)

All'anomalia genica corrisponde

- a) aumentata INa
- b) Una modalità di insorgenza della TdP: riposo
- c) Una specifica terapia gene-specifica : evita bradicardia (PM),
Mexiletina (I Na blocc) , NO Beta bloccante!





Come individuare le cardiopatie a rischio di morte improvvisa



QTc > 480 msec	3
QTc = 460 – 470	2
QTc = 450 (nei maschi)	1
Torsione di Punta	2
T wave alternans	1
Notched T wave (2 deriv)	1
Bassa frequenza X età	0,5
Sincope da Stress	2
Sincope senza Stress	1
Sordità congenita	0,5
Familiari con LQTS	1
Familiari con M.I. < 30 aa	0,5

Probabilità di LQTS

- 1 punto Bassa
- 2-3 punti Intermedia
- 4 punti Alta

il QT fino al 2000

focus su prolungamento del QT :
durata e morfologia

Il QT normale sembrava essere tanto più normale tanto più si allontanasse da quello «lungo»



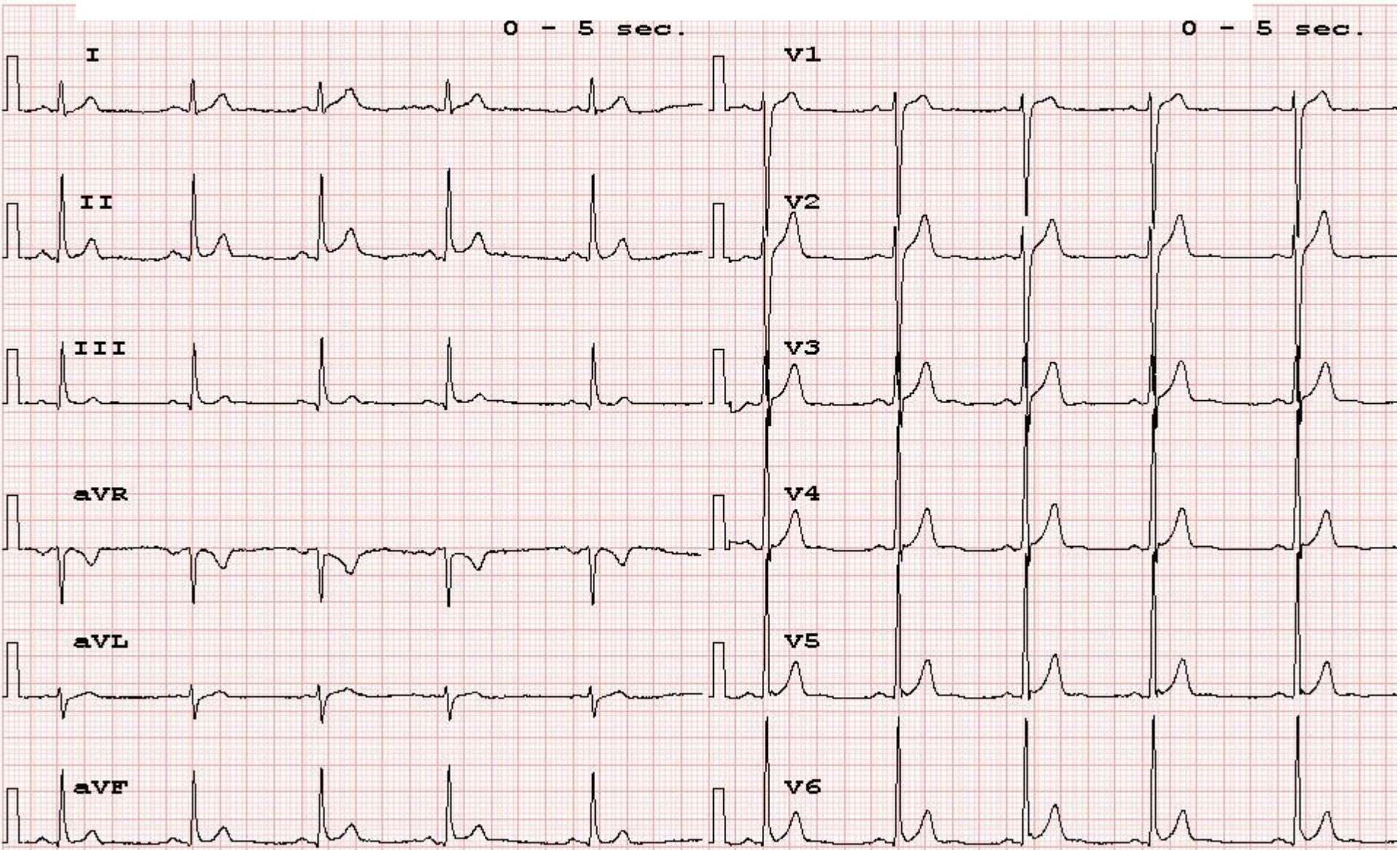
$K^+ = 8 \text{ meq/l}$

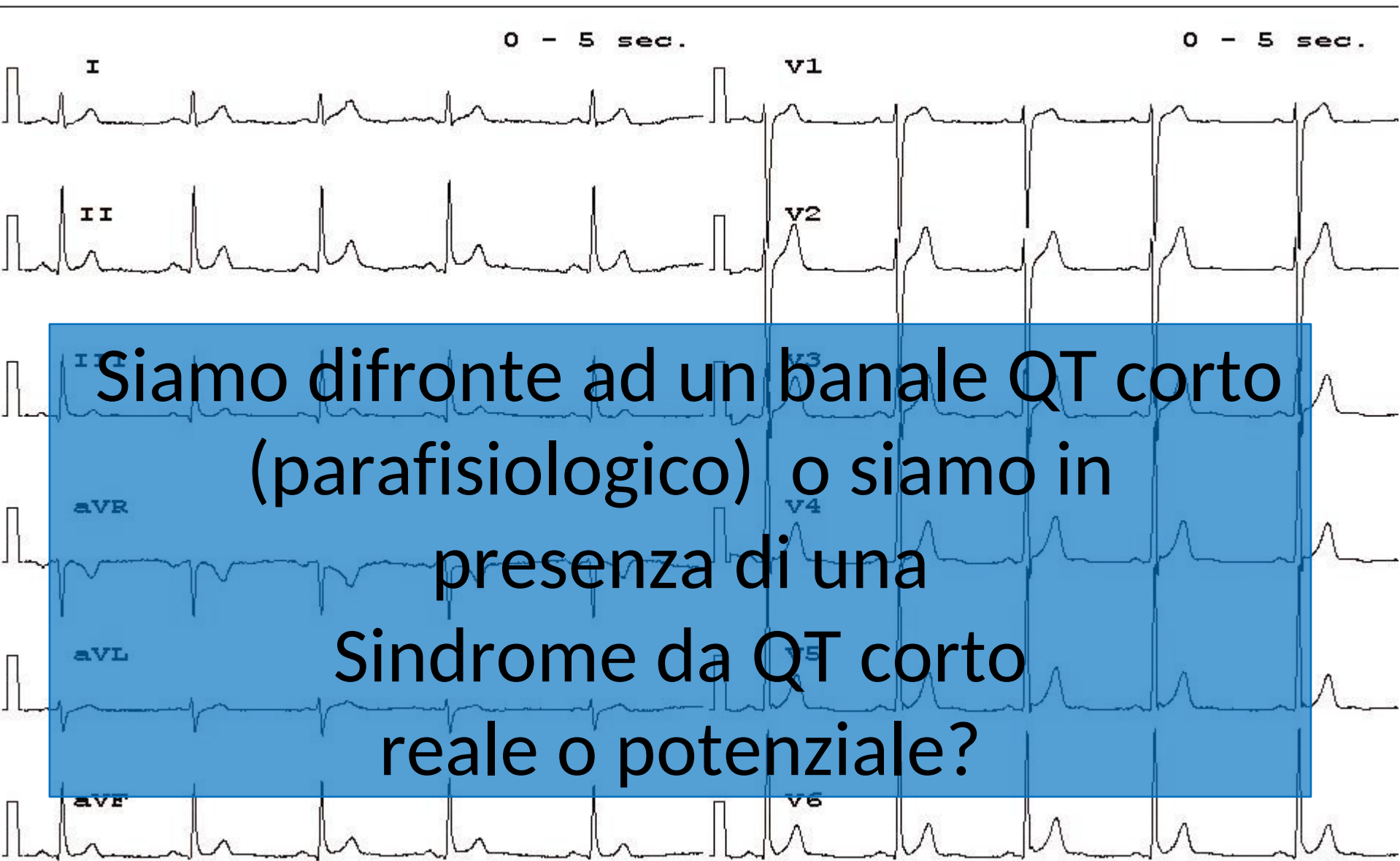
$K^+ = 7 \text{ meq/l}$

$K^+ = 6 \text{ meq/l}$

$K^+ = 5 \text{ meq/l}$

L'intervallo QT può essere troppo corto? Si! Deve essere calcolato?





QT predetto: formula di Rautaharju

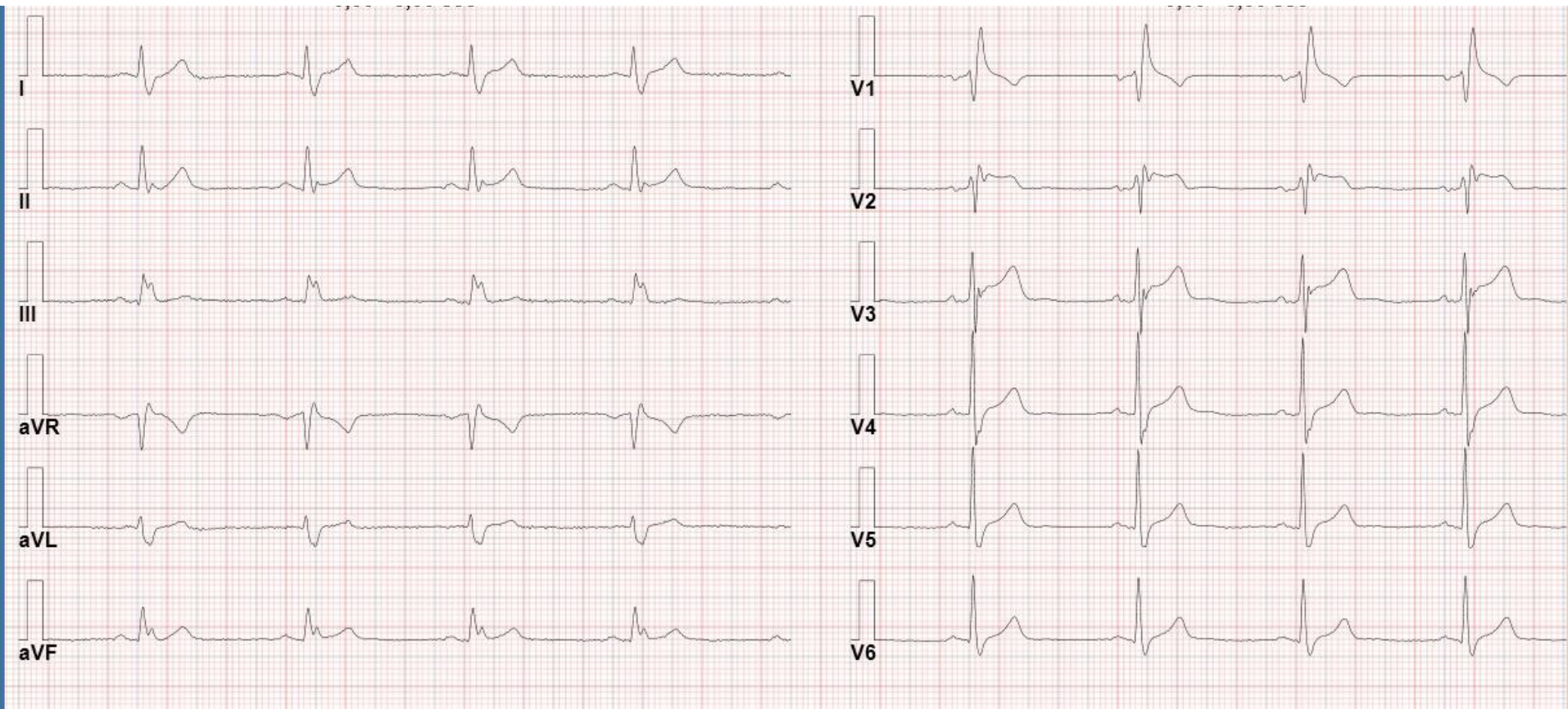
Rautaharju (14,379 pts):

- QT_p (ms)= $65.600 / (100+HR)$
- QT/QT_p x 100% = % QTpredicted.
- Limite inferiore di normalità del QT = 88% of QT_p

Si definisce QT Corto un valore inferiore
all' 88 % del predetto

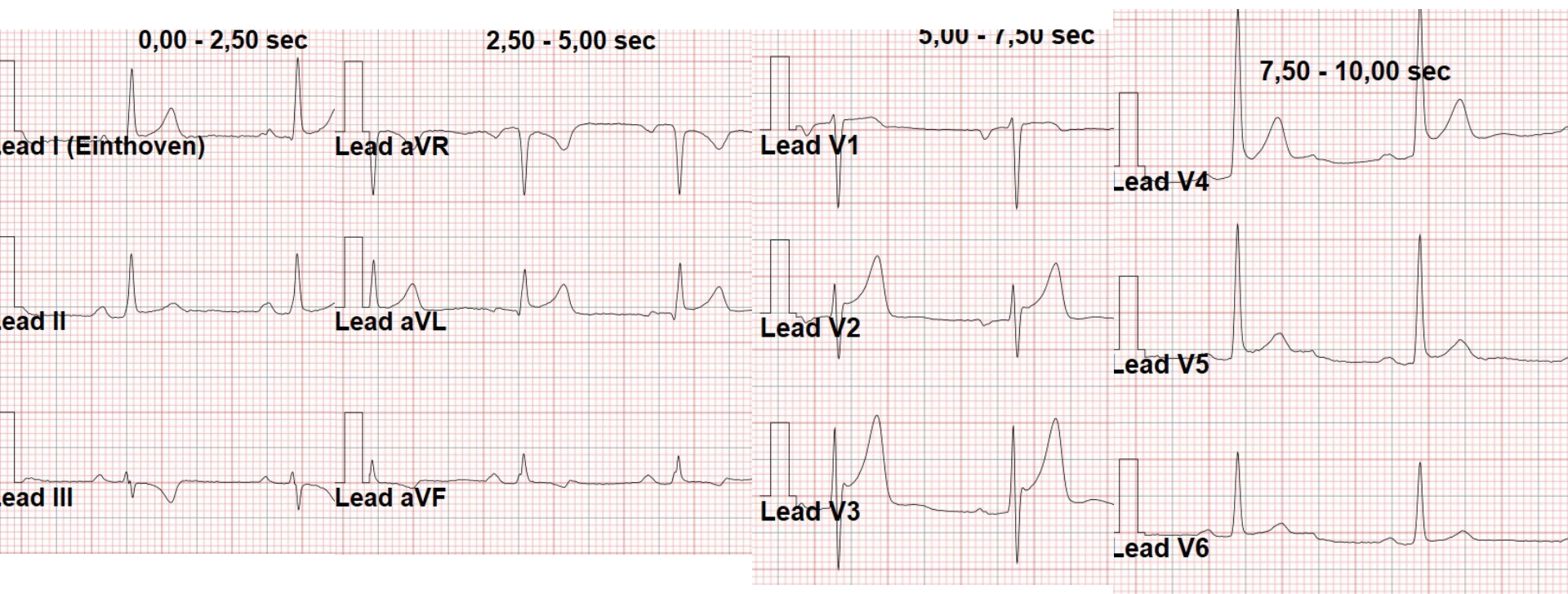
QT_p (ms) = 65600 / (100+HR) = 65600/155=423 msec
88% del QT predetto 423x88/100=372

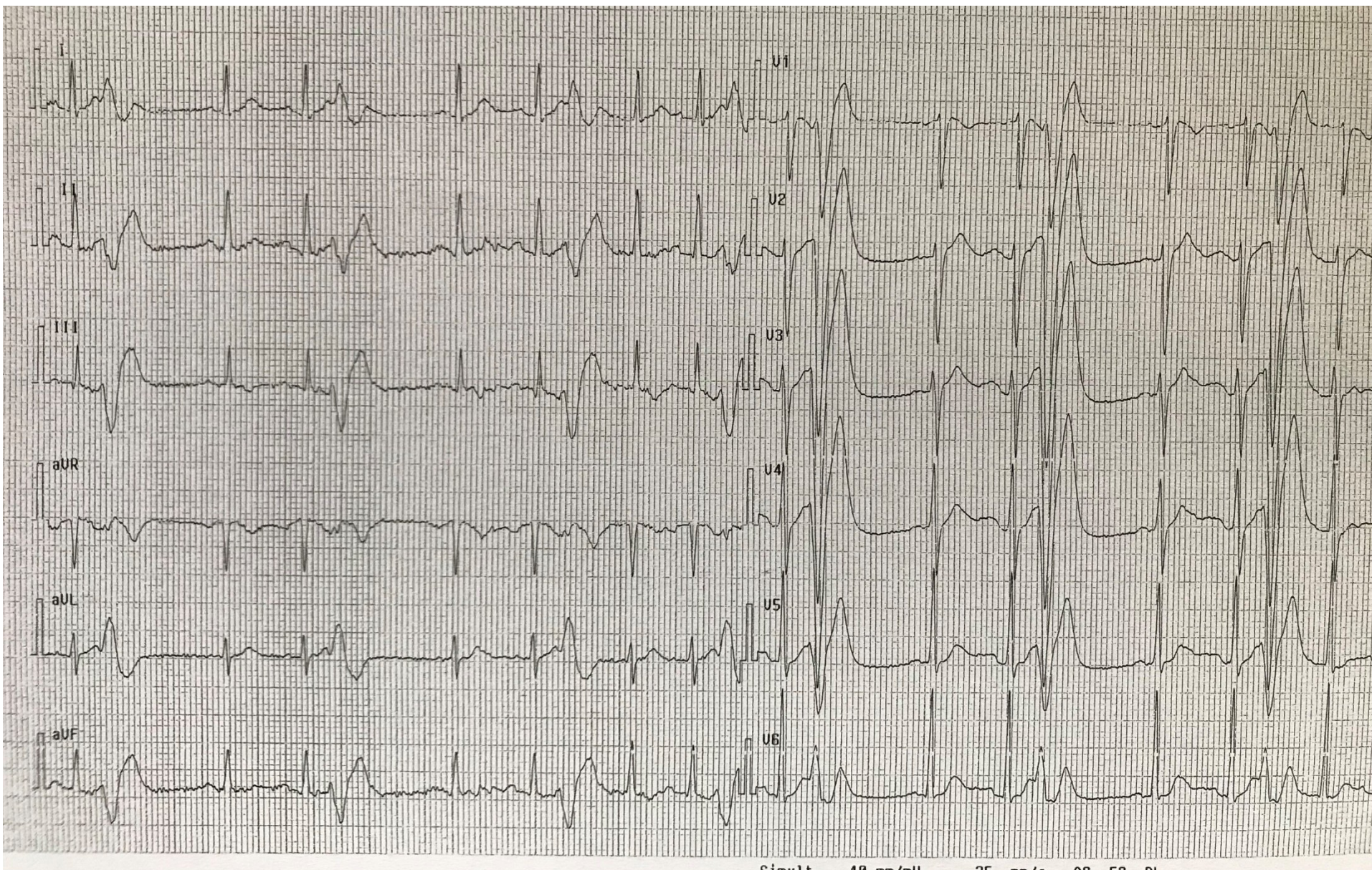
QT = 380 Normale



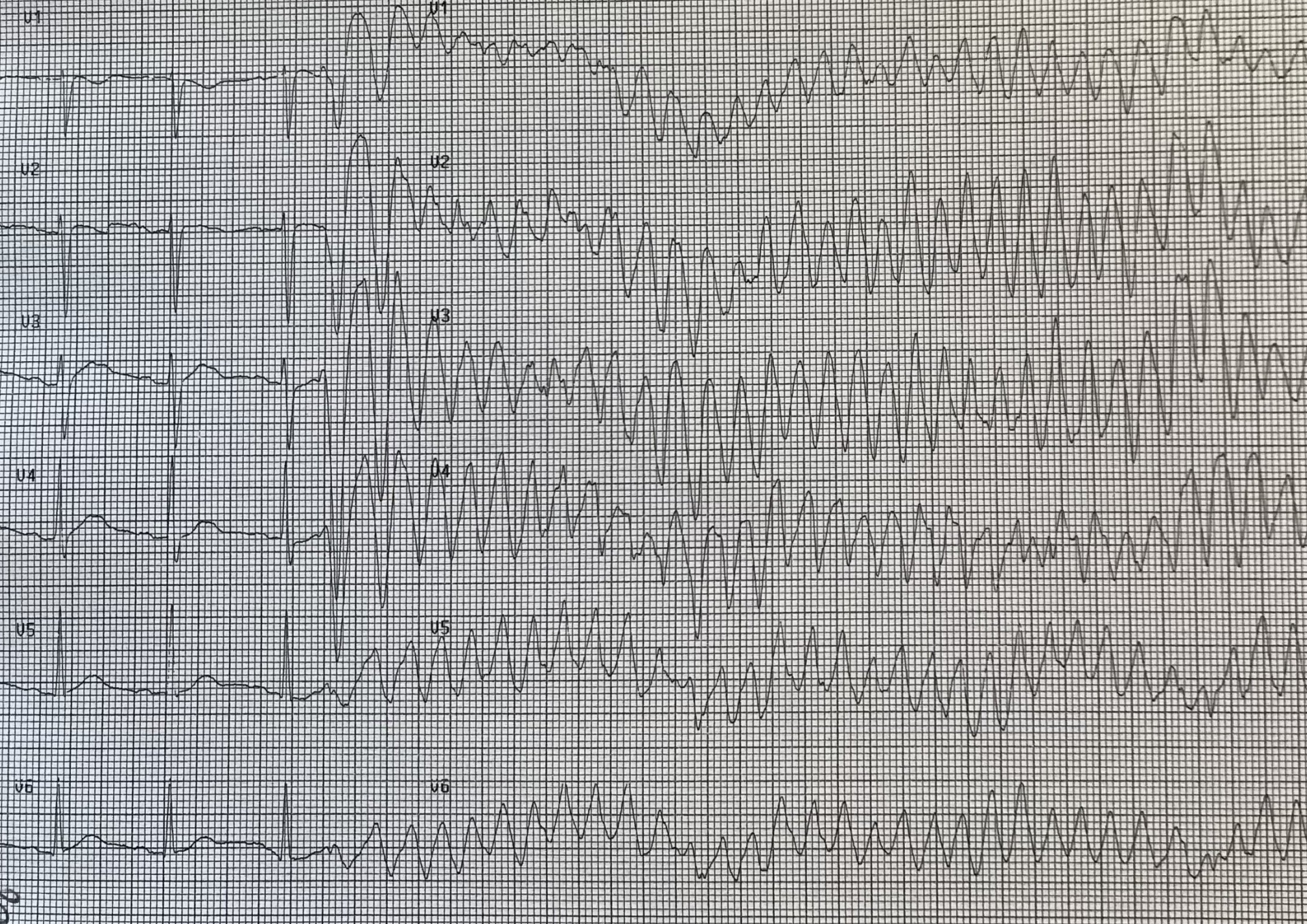
$QT_p \text{ (ms)} = 65600/160 = 410 \text{ msec}$
88% del QT predetto = 360

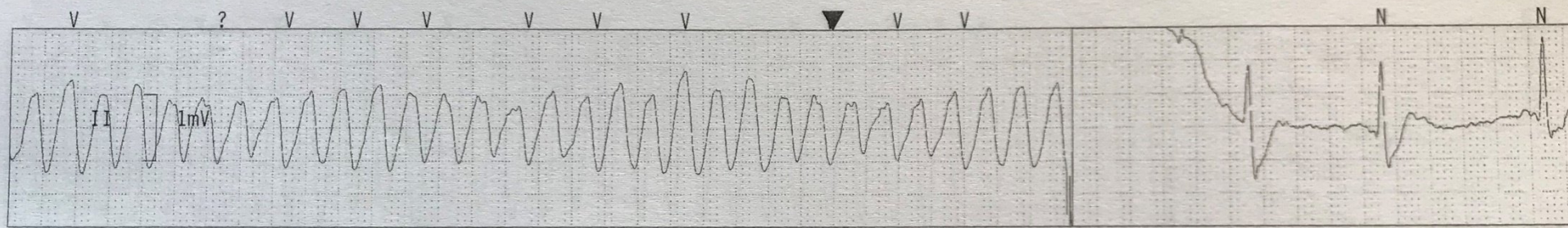
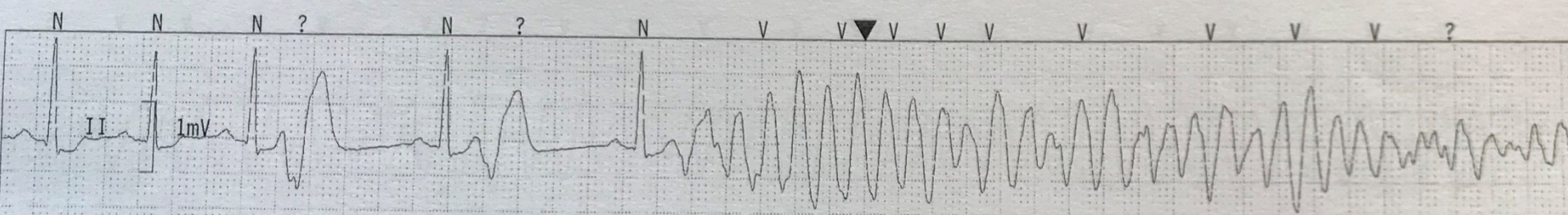
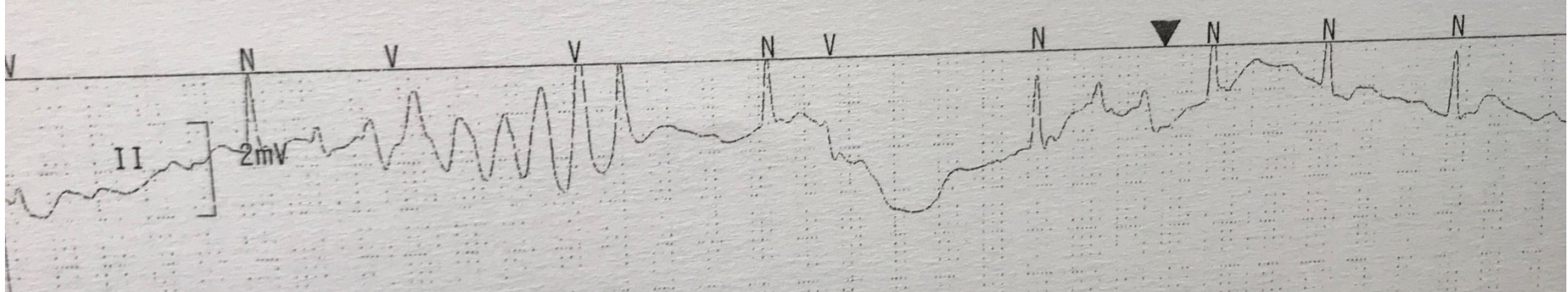
QT = 340 corto





Simult. 10 mm/mV 25 mm/s AC F2 BL





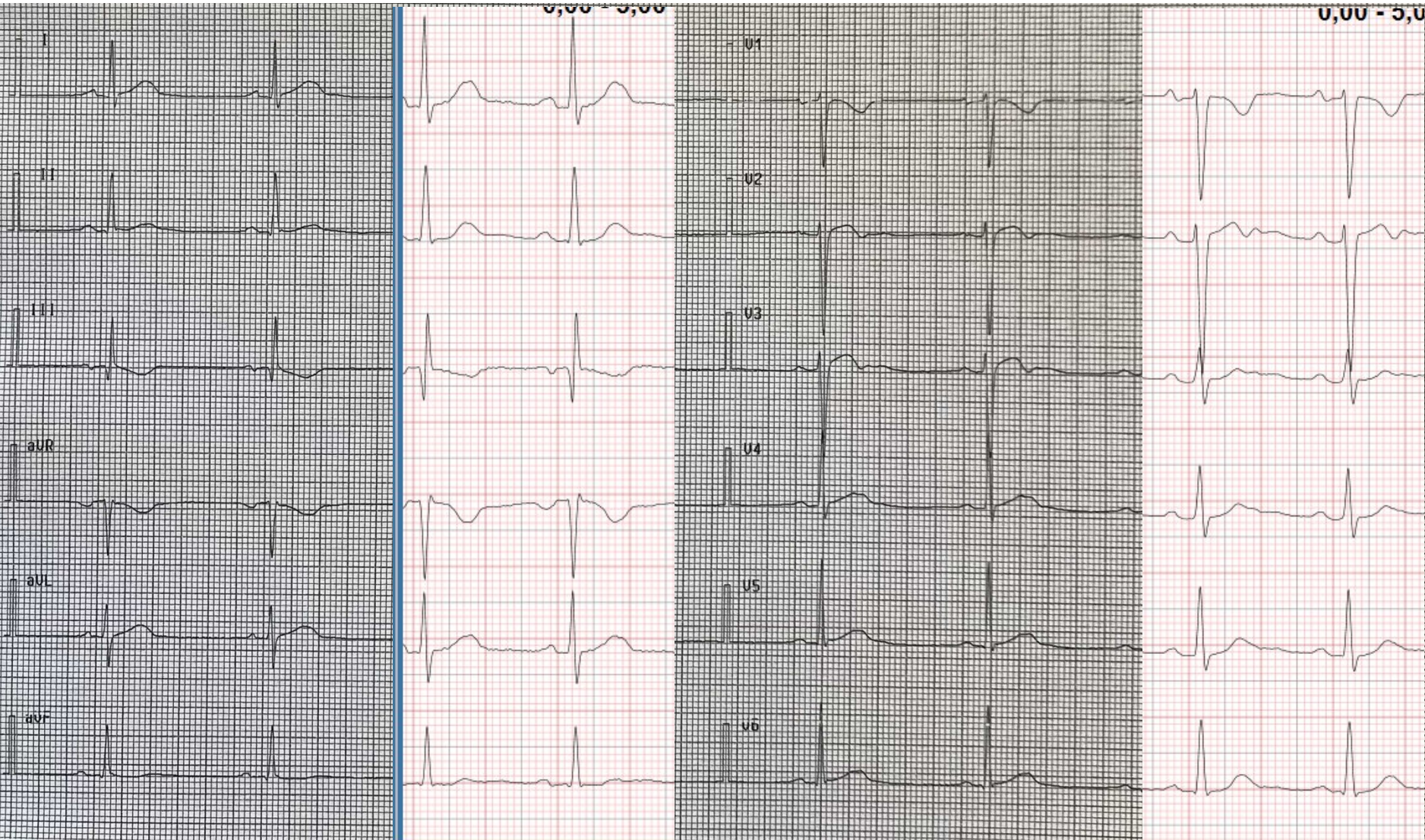
Conclusione:
Ma è solo la durata del QRS che influenza la induzione di aritmie?

Base

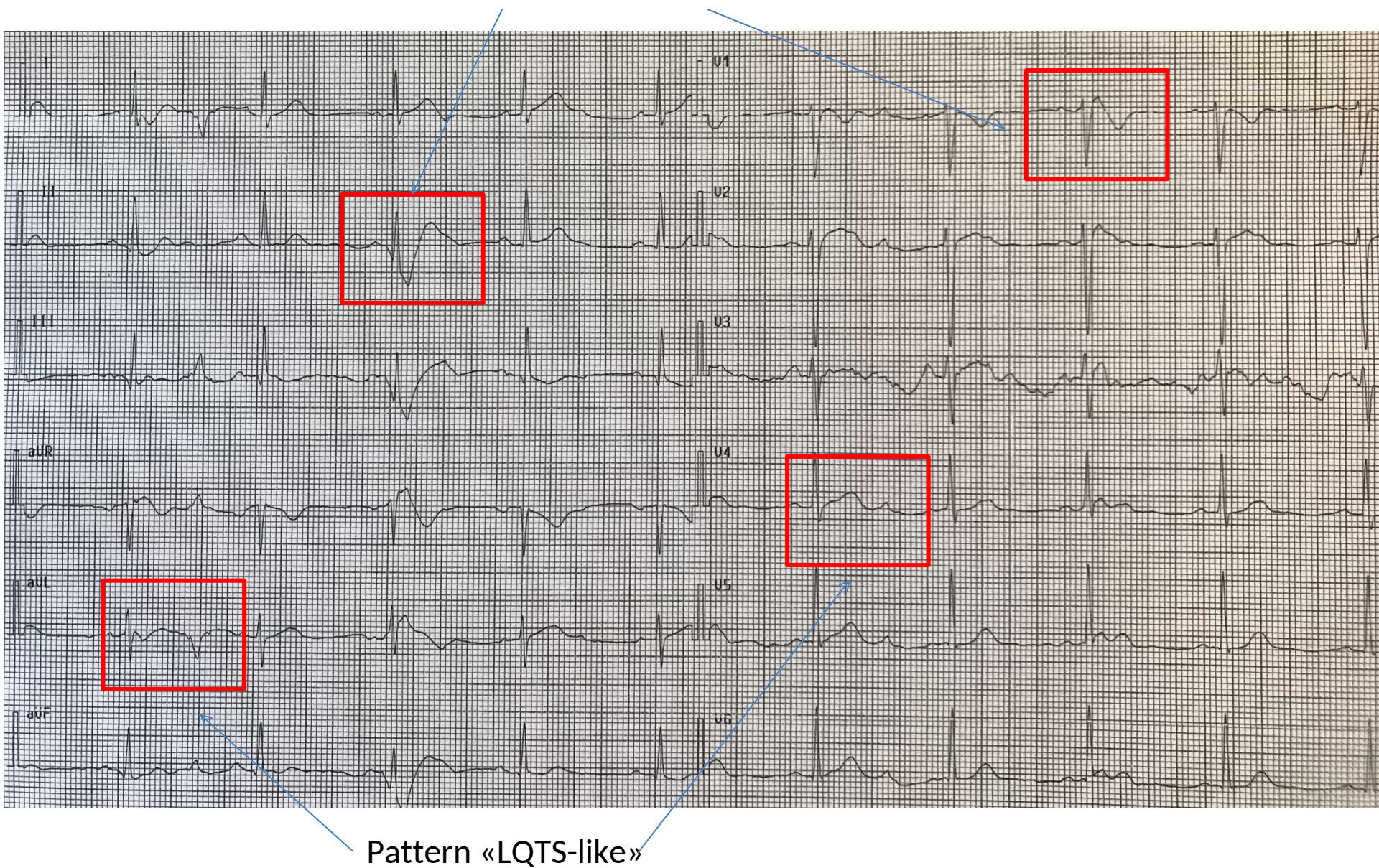
Quinidine

Base

Quinidine



Pattern «Brugada-like»



Pattern «LQTS-like»

Grazie

riserva

The definition of the Brugada syndrome

Juan Sieira and Pedro Brugada*

Brugada syndrome is diagnosed in patients with **ST-segment elevation with type 1 morphology ≥2 mm in ≥ 1 lead in the right precordial leads V1, V2, positioned in the 2nd, 3rd, or 4th intercostal space occurring either spontaneously or after provocative drug test** with intravenous administration of class I antiarrhythmic drugs.

Two important aspects must be highlighted:

1. **Only the type 1 ECG pattern is diagnostic**, either spontaneously or after a drug challenge.
2. A type 2 ECG pattern may raise the suspicion of BS but the diagnosis can only be made when the type 1 pattern appears or is induced by sodium channel blockers.
This fact has also prognosis significance as those patients that do not display the type 1 spontaneously have a better outcome, but arrhythmic events and SCD can still occur.

Interestingly, nowadays the type 3 ECG pattern is no longer considered in BS

Table I Genes identified in Brugada syndrome

Channel	Gene	Protein	Proportion of BS attributed to genetic variants (%)
Calcium	CACNA1C	Voltage-dependent L-type calcium channel subunit alpha-1C	6.6
	CACNB2B	Voltage-dependent L-type calcium channel subunit beta-2	4.8
	CACNA2D1	Voltage-dependent calcium channel subunit alpha-2/delta-1	1.8
	TRPM4	Transient receptor potential cation channel subfamily M member 4	<1
Sodium	SCN5A	Sodium channel protein type 5 subunit alpha	11–28
	SCN10A	Neuronal sodium channel Nav1.8	5–16.7
	GPD1-L	Glycerol-3-phosphate dehydrogenase 1-like protein	<1
	SCN1B	Sodium channel subunit beta-1	1.1
	SCN2B	Sodium channel subunit beta-2	<1
	SCN3B	Ran guanine nucleotide release factor	<1
	SLMAP	Sarcolemmal membrane-associated protein	<1
	PKP2	Desmosomal protein plakophilin-2	<1
	RANGRF	Sodium channel subunit beta-3	<1
	KCND3	Potassium voltage-gated channel subfamily D member 3	<1
Potassium	KCNE3	Potassium voltage-gated channel subfamily E member 3	<1
	KCNJ8	ATP-sensitive inward rectifier potassium channel 8	2
	HCN4	Hyperpolarization-activated cyclic nucleotide-gated channel 4	<1
	KCNE5	Potassium voltage-gated channel subfamily E member 1-like protein	<1

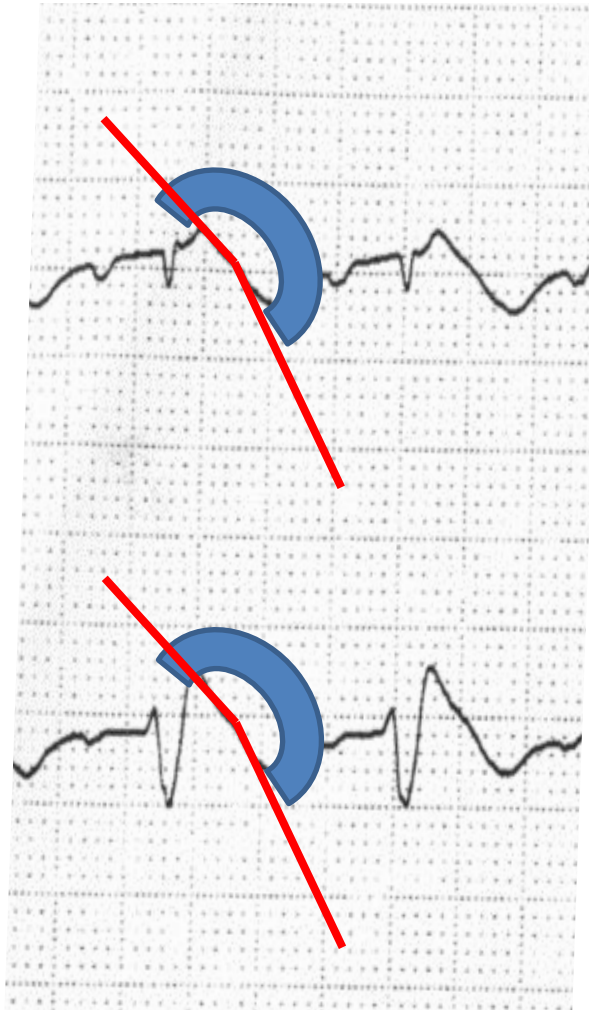
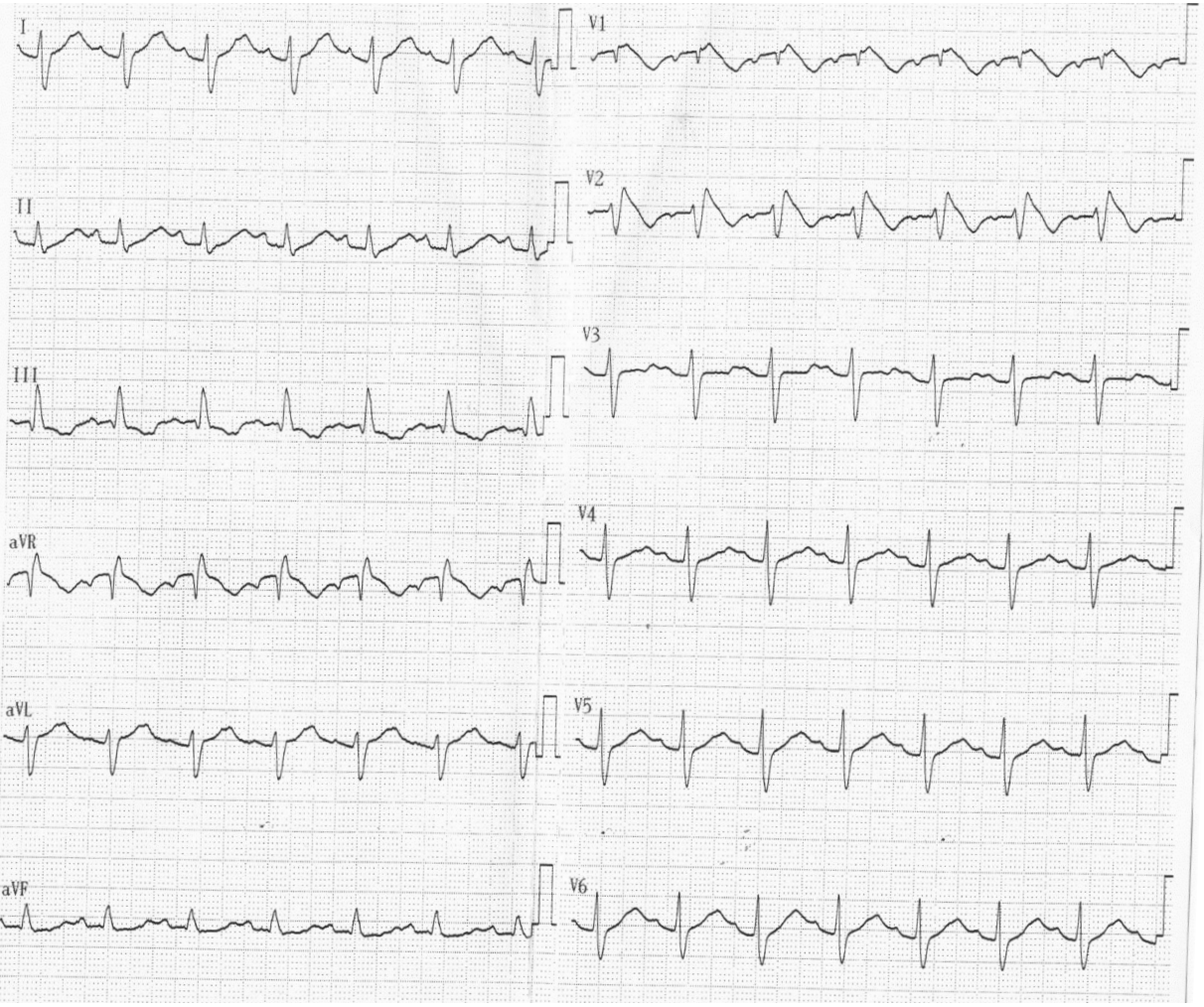
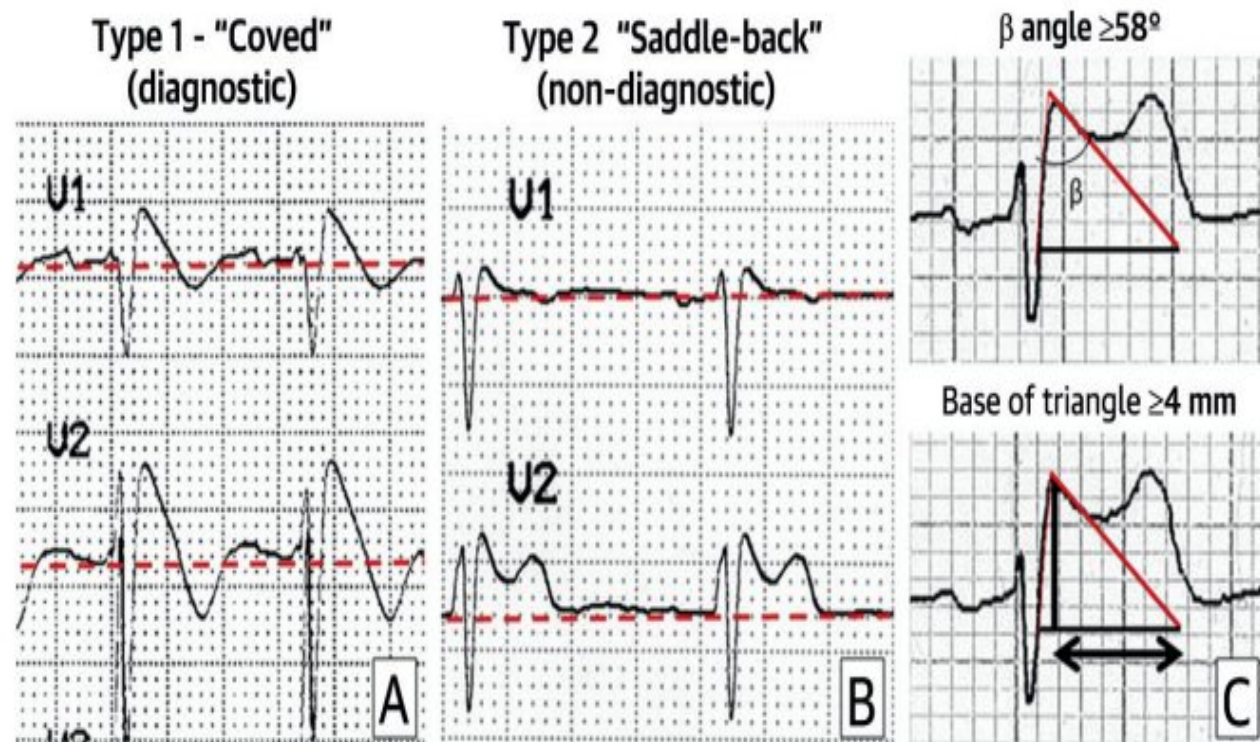


FIGURE 1 Electrocardiographic Patterns in Brugada Syndrome



(A) Type 1 Brugada electrocardiogram pattern showing a concave ST-segment elevation ≥ 2 mm in ≥ 1 right precordial lead, followed by a negative T-wave. **(B)** Type 2 Brugada electrocardiogram pattern showing a convex ST-segment elevation ≥ 0.5 mm (generally ≥ 2 mm) in ≥ 1 right precordial lead followed by a positive T-wave. **(C)** Additional criteria for the diagnosis of Brugada electrocardiogram pattern type 2 (**top**: the β angle, described by Chevallier et al. (18); **bottom**: the length of the base triangle of the r' wave 5 mm below the maximum rise point).

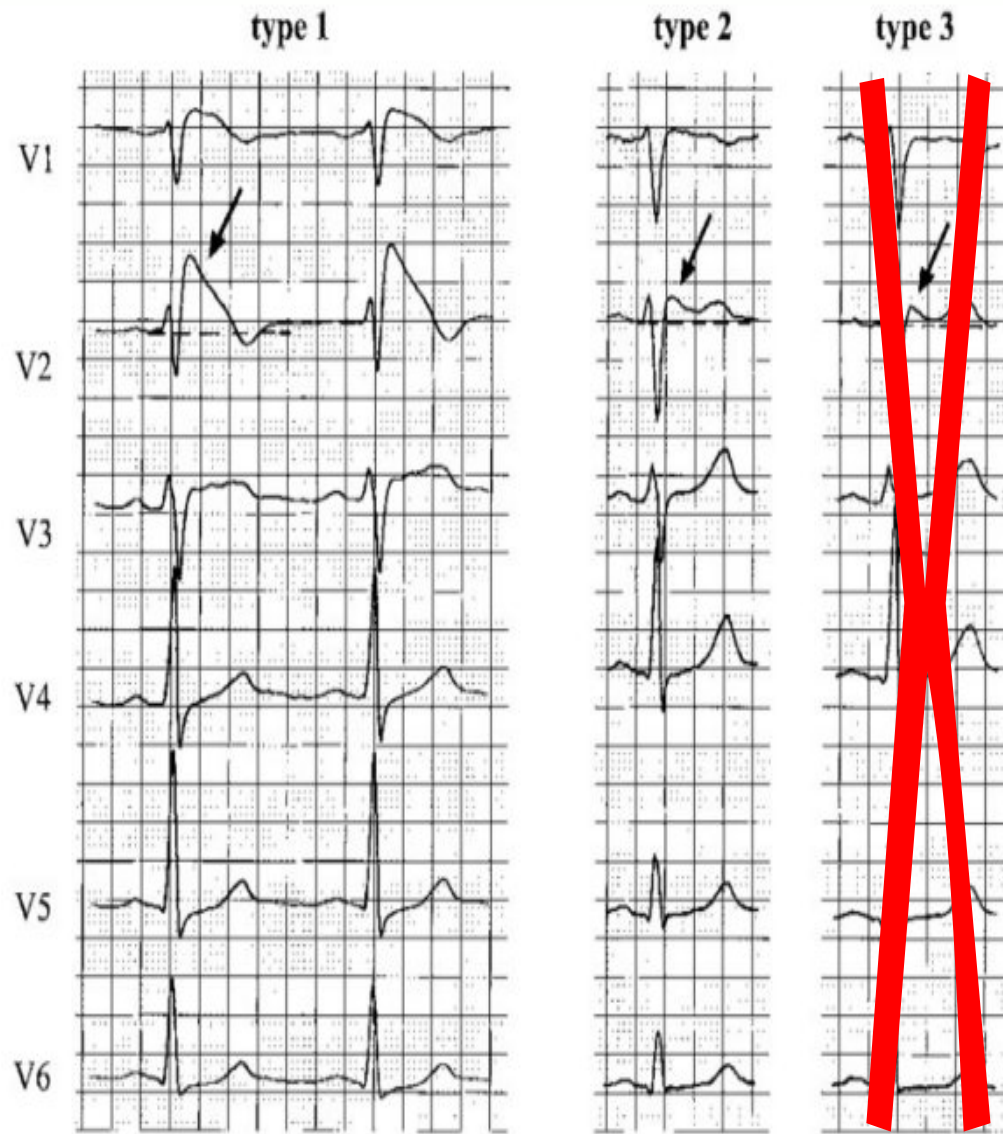
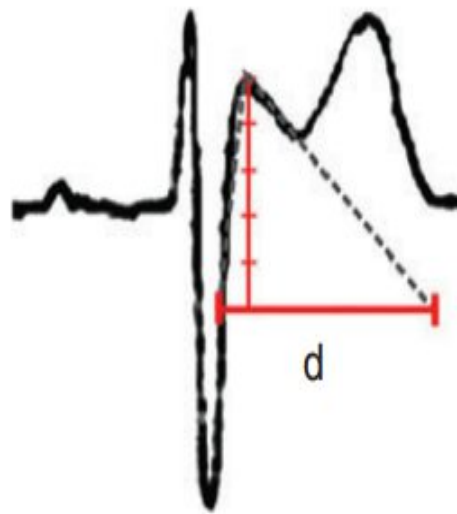


Figure 2 The three different electrocardiogram (ECG) patterns described in the first consensus (modified from Wilde et al.⁸).

Saddle-Back: differential diagnosis

Duration (d) at 5 mm from r' spike



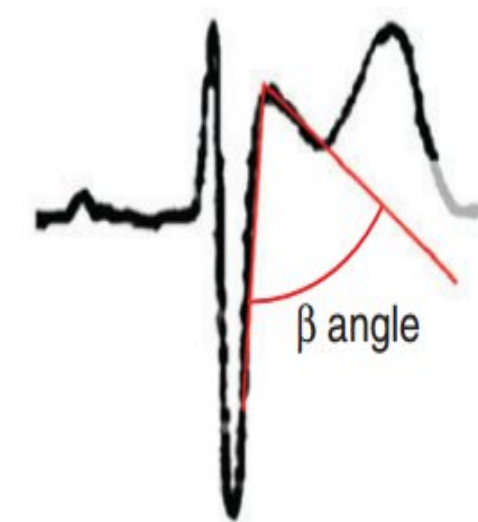
$d \geq 4 \text{ mm} \text{ or } 160 \text{ ms}$
*
Type 2

Duration (d) and height (h) at baseline



$d \geq 1,5 \text{ mm or } 60 \text{ ms}$
*
Ratio $d/h \geq 0,8$

β angle



$\geq 58^\circ$ **Type 2**
 $\geq 36,8^\circ$ **Type 2**
*

*Serra G et Al New electrocardiographic criteria to differentiate type 2 Brugada pattern..... Europace 2014

Ratio $d/h > 1,3$

^ Brugada P et Al Present status of Brugada Syndrome JACC 2018

Table I Diagnostic accuracy of the best cut-off values for the different measurements based on the characteristics of the r' -wave obtained in leads V1–V2

Leads V1–V2 ^a	Sensitivity	Specificity	PPV	NPV
Duration of the base of the triangle at 5 mm from r' -wave ≥ 160 ms (4 mm)	85	95.6	94.4	87.9
Triangle base/height ratio	82	92.1	90.1	83.3
Duration of the base of the triangle at the isoelectric line ≥ 60 ms (1.5 mm)	94.8	78	79.3	93.5
^b β angle $\geq 36.8^\circ$	86	94.7	93.5	88.5

Serra G et Al New electrocardiographic criteria to differentiate Type-2 Brugada pattern from electrocardiogram of healthy athletes with r' -wave in leads V1/V2;

**TYPE
2**

D 260
ms

